

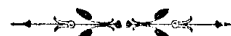
В. С. Титовъ.

РАДІОАКТИВНАЯ ЭМАНАЦІЯ

ВЪ ВОДАХЪ И ГАЗАХЪ ТЕРМЪ

ДЕРЕВНИ НОВАЯ БЪЛОЖУРИХА

НА АЛТАѢ.



ТОМСКЪ.

Типо-литографія Сибирскаго Товарищества печатнаго дѣла, уг. Дворянской и Ямск. пер. с. д.

1913.

Печатано по распоряжению Директора Томского Технологического Института
Императора Николая II.

**Радіоактивна эманація въ водахъ и газахъ термъ деревни
Новая Бѣлокуриха на Алтаѣ.**

ОГЛАВЛЕНИЕ.

	Стр.
Введение	1
Глава I. Затухание радиоактивной эманации, заключающейся въ водахъ и газахъ термъ деревни Новая Бѣлокуриха.	
§ 1. Ионизация воздуха, производимая водой изъ колодца № 1, и измѣненія этой ионизации со временемъ	3
§ 2. Ионизация въ газѣ, собранномъ надъ колодцемъ № 2, и измѣненіе этой ионизации со временемъ	10
§ 3. Сравненіе константъ затуханія ионизации въ воздухѣ, продутомъ черезъ воду изъ колодца № 1, и газѣ, собранномъ надъ колодцемъ № 2	15
§ 4. Сравненіе константъ затуханія ионизации въ воздухѣ, продутомъ черезъ воду изъ колодца № 1, съ таковыми же константами эманации радія	16
Глава II. Радиоактивная индукція, производимая изслѣдуемой эманацией.	
§ 1. „Нормальный“ электроскопъ Schmidt'a и наблюдаемое имъ затуханіе радиоактивной индукціи эманации радія	20
§ 2. Изученіе наведенной активности изслѣдуемой эманации при помощи электроскопа Schmidt'a при малыхъ временахъ активированія	23
§ 3. Изученіе наведенной активности изслѣдуемой эманации при помощи колокола Elster'a—Geitel'a при большихъ временахъ активированія и независимо отъ градуировки шкалы электроскопа	31
Глава III. Измѣреніе количества эманации, заключающейся въ изльдываемыхъ газахъ и водахъ.	
§ 1. Методы Mache и Schmidt'a для измѣренія количества эманации	35
§ 2. Измѣреніе величины x/K для газовъ по методу Mache и Duane'a—Schmidt'a	40
§ 3. Измѣреніе величины x/K для изслѣдуемой воды по методу Mache	47
§ 4. Измѣреніе величины x/K для воды изъ колодца № 1 по методу Schmidt'a	49
Заключеніе	52

Радіоактивная эманация въ водахъ и газахъ термъ деревни Новая Бѣлокуриха на Алтаѣ.

В. С. Титова.

Деревня Новая Бѣлокуриха находится у съверныхъ отроговъ Томского Алтая, въ 63 верстахъ отъ г. Бійска, подъ 54.⁹ О. отъ Пулкова и 52.⁶ N, на высотѣ 251 метровъ надъ моремъ, въ мѣстности, гдѣ степь рѣзко переходитъ въ горы,—у рѣчки того же названія, какъ и деревня.

Выше деревни рѣчка представляется быстрымъ потокомъ, текущимъ по узкой долинѣ, часто заваленной огромными валунами. Но у самой деревни рѣчка прорѣзываетъ послѣднюю грядку холмовъ и сей-часъ же теряетъ свой горный характеръ. Въ этомъ мѣстѣ на правомъ берегу имѣются два колодца съ деревянными срубами, въ которыхъ и скопляется теплая вода. Одинъ изъ колодцевъ находится подъ деревяннымъ навѣсомъ, а другой подъ открытымъ небомъ. Первый имѣеть около 4 квадратныхъ аршинъ поперечного сѣченія и около 1 сажени глубины, такъ что дно его едва-ли не ниже дна протекающей рядомъ рѣчки;—а другой около 2½ квадратныхъ аршинъ въ сѣченіи и до ½ аршина глубиной. Дно этого второго колодца очень засорено, и отъ колодца иногда чувствуется слабый запахъ сѣро-водорода. Оба колодца тѣсно примыкаютъ къ небольшому деревянному зданію, гдѣ изготавливаются прѣзжимъ больнымъ ванны. Въ послѣдующемъ изложеніи болѣшій колодецъ мы будемъ называть колодцемъ № 1, а менѣшій—колодцемъ № 2.

По самому берегу рѣчки (правому) внизъ отъ колодцевъ шаговъ на 50 всюду можно найти просачивающуюся черезъ слой глины и гравія теплую воду. Кромѣ того, выходы теплой воды можно установить въ несколькиихъ пунктахъ дна рѣчки противъ колодцевъ и ниже; въ этихъ пунктахъ вода на днѣ теплая, и замѣтно выдѣленіе пузырьковъ газа, какъ и со дна обоихъ колодцевъ.

Мнѣ неоднократно приходилось собирать эти поднимающіеся со дна колодцевъ газы, и я могу сообщить, что съ одного квадратнаго метра поверхности воды въ колодцѣ въ среднемъ въ 1 часъ можно собрать до 110 литровъ находящагося при атмосферномъ давленіи газа.

Тѣ порці газовъ, какія я собираль, никогда не пахли сѣроводородомъ, и вообще не были пахучи. Они не оказывали замѣтнаго дѣйствія на металлы. Химическая природа этихъ газовъ совершенно никѣмъ не изслѣдована. Но все-таки можно думать, что газы эти, главнымъ образомъ, состоятъ изъ углекислоты.

Вода колодца № 1 по моимъ наблюденіямъ всегда имѣла температуру 31.6° С., а во второмъ колодцѣ температура колебалась отъ 31.4° С до 31.6° С. Вода изъ колодца № 1 пріятна на вкусъ, постоянно употребляется для питья и приготовленія пищи. Уже изъ этого можно заключить, какъ ничтожно должно быть количество растворенныхъ въ ней минеральныхъ веществъ. Объ этомъ проф. Леманъ („Научные очерки Томского края“, Томскъ, 1898 г.) сообщаетъ слѣдующее: „Единственный болѣе или менѣе подробный анализъ, знакомящій насъ съ химическимъ составомъ Бѣлокурихинскихъ источниковъ, произведенъ еще въ 1869 г. По даннымъ этого анализа вода имѣеть удѣльный вѣсъ 1.0012, слабо щелочную реакцію и содержитъ 0.033 % плотныхъ солей“. Принимая во вниманіе такое ничтожное содержаніе минеральныхъ солей, проф. Леманъ причисляетъ Бѣлокурихинскіе источники „къ совершенно индифферентнымъ термамъ“.

Тѣмъ не менѣе Бѣлокурихинскія воды пользуются среди населенія Томской губерніи, въ особенности въ Барнаульскомъ и Бійскомъ уѣздахъ, репутацией цѣлебныхъ водъ, и въ теченіе іюня и іюля на этихъ водахъ отпускается пріѣзжимъ больнымъ до 100 ваннъ въ сутки.

Я имѣть возможность изучать на содержаніе радиоактивныхъ энацій воды и газы Бѣлокурихинскихъ термъ въ теченіе іюля 1907 года и съ 14 іюня по 13 іюля 1908 года. Въ организаціи первой моей поѣздки въ Бѣлокуриху мнѣ существенную помощь оказалъ проф. А. И. Ефимовъ. Выразить ему здѣсь свою глубокую благодарность я считаю своимъ долгомъ. Въ 1908 году Совѣтъ Томскаго Технологического Института удостоилъ меня командировкіи для изслѣдованія на радиоактивность нѣкоторыхъ алтайскихъ термъ и отпустилъ мнѣ для этой цѣли 300 рублей. Это дало мнѣ возможность кромѣ изслѣдованій въ д. Н. Бѣлокуриха произвести соотвѣтствующія наблюденія надъ вѣдами и газами Рахмановскихъ источниковъ въ Арасанской долинѣ (описаніе результатовъ этихъ послѣднихъ наблюденій я откладываю до болѣе удобнаго времени). Я позволю себѣ принести здѣсь глубокую благодарность Совѣту Томскаго Технологического Института. Въ обѣ мои поѣздки въ д. Н. Бѣлокуриха мнѣ сопутствовалъ студентъ В. П. Марковъ. Онъ интересовался работой не менѣе, чѣмъ я самъ, и оказалъ мнѣ многочисленныя услуги по организаціи и веденію наблюденій и не только въ д. Н. Бѣлокуриха, но и въ Томскѣ. Считаю своимъ пріятнымъ долгомъ и здѣсь выразить В. П. Маркову мою глубокую благодарность.

Глава I.

Затуханіе радіоактивної еманації, заключающейся въ водахъ и газахъ термъ деревни Н. Бѣлокуриха.

§ 1. Іонізація воздуха, производимая водой изъ колодца № 1, и изменение этой іонізаціи со временемъ.

Желая знать, насколько воды Бѣлокурихинскихъ источниковъ способны дѣлать электропроводнымъ продуваемый черезъ нихъ воздухъ, я примѣнялъ предложенную впервые *Himstedt*'омъ (Ann. d. Physik. Bd. 12, 1903, p. 107 и Bd. 13, 1904, p. 573) методу циркуляціи черезъ испытуемую воду воздуха, заключенного внутри нѣкоторой замкнутой цѣпі. Я осуществлялъ эту методу близко къ тому, какъ она описана у *H. Mache* (Wiener Berichte, Bd. 113, 1904, p. 1329 и Bd. 114. 1905, Hefte III, IV, V) и весьма близко къ тому, какъ эта метода описана проф. *A. П. Соколовымъ* въ его статьѣ „Радіоактивность нѣкоторыхъ русскихъ минеральныхъ водъ, грязей и почвъ“. (Журналъ Р. Ф. X. Общества, часть физическая, томъ 37, 1905, стр. 101.). Моя замкнутая цѣпь состояла изъ известного колокола Elster'a-Geitel'a съ электроскопомъ и разсѣятелемъ (отъ фирмы Günter-Tegeitmeyer'a; этотъ инструментарий описанъ Elster'омъ и Geitel'емъ въ Phys. Zeitschr., 1904, p. 321 и Zeitschrift f. Instrumentenkunde, 24, 1904, p. 193), каучукового насоса-груши, стеклянной бутыли емкостью 8.4 литра, дрекселевой стеклянки съ бусами съ сѣрной кислотой, башенки съ хлористымъ кальциемъ, стеклянной трубки съ чистой ватой и, наконецъ, опять колоколь. Емкость колокола 8.555 литра при высотѣ 35 сантиметровъ и диаметрѣ въ 17.5 сантиметровъ. Размѣры насоса-груши были таковы, что послѣ 120 ударовъ насоса весь воздухъ въ цѣпі могъ совершить одну циркуляцію. Въ дальнѣйшемъ мы будемъ называть токомъ разсѣянія величину

$$\frac{\Delta v \times \text{емкость электроскопа}}{\Delta t},$$

гдѣ Δv есть измѣненіе потенціала заряженного электроскопа въ теченіе времени Δt . Если циркуляція въ цѣпі была произведена въ отсутствіе испытуемой воды или газа, то наблюдаемый послѣ циркуляціи токъ разсѣянія мы будемъ называть токомъ натурального разсѣянія и обозначать черезъ i_N . Если же циркуляція воздуха происходила черезъ испытуемую воду или газъ, то наблюдаемый послѣ циркуляціи токъ разсѣянія мы будемъ называть токомъ полного разсѣянія и обозначать черезъ i . Примемъ далѣе емкость нашего электроскопа, когда онъ стоитъ подъ колоколомъ, отведеннымъ къ землѣ, за особую единицу емкости, а за 1 времени одинъ часъ. При этихъ условіяхъ токъ натурального разсѣянія въ моихъ опытахъ въ Бѣлокурихъ въ полѣ 1907 года

колебался въ предѣлахъ 3.9—3.4 $\frac{\text{вольтъ} \times \text{емкость}}{\text{часъ}}$, между тѣмъ какъ токъ полнаго разсѣянія во много разъ превосходилъ эти предѣлы. Вотъ, напримѣръ, наблюденіе 4-го юля.

Въ 2^h 40^m *p* начата циркуляція воздуха въ цѣпи черезъ 6.09 литра воды, только что взятой изъ колодца № 1. (Мѣсто наблюденія находилось въ 100 шагахъ отъ колодца). Циркуляція продолжалась 23 минуты, послѣ чего колоколь былъ изолированъ отъ остальной цѣпи, и начато было наблюденіе тока полнаго разсѣянія. При помощи секундомѣра наблюдалось время паденія праваго листочка электроскопа отъ 16 до 9-го дѣленія шкалы, что приблизительно соотвѣтствуетъ паденію потенціала на 62.2 вольта.

Нижеслѣдующая таблица I представляетъ нѣсколько данныхъ этого наблюденія тока полнаго разсѣянія. Изъ этой таблицы видно, что черезъ 25^{min}. отъ начала циркуляціи токъ полнаго разсѣянія превышаетъ токъ натуральнаго разсѣянія въ 883 раза; что величина *i* возрастаетъ, достигая приблизительно черезъ 2½ часа отъ начала циркуляціи maximum'a, чтобы затѣмъ медленно падать. Отношеніе i/i_N въ maximum'ѣ равно 1237. Максимальное увеличеніе *i* составляетъ 40% того значенія *i*, которое имѣло мѣсто тотчасъ послѣ окончанія циркуляціи.

Таблица I.

Моментъ наблюденія.	Время отъ начала циркуляціи.	Время паденія отъ 16 до 9 дѣленій.	$i = \frac{62.2 \text{ вольтъ} \times \text{емкость}}{t} \text{ часъ.}$
VII. 4. 3 ^h 05 ^m <i>p</i>	25 ^m	65. ^s 0	3445
3 ^h 15 ^m	35 ^m	59. ^s 0	3795
3 ^h 21 ^m	41 ^m	56. ^s 5	3961
3 ^h 31 ^m	51 ^m	55. 8	4013
3 ^h 43 ^m	1 ^h 03 ^m	53. 5	4185
3 ^h 56 ^m	1 ^h 16 ^m	51. ^s 5	4348
4 ^h 31 ^m	1 ^h 51 ^m	48. ^s 3	4636
5 ^h 02 ^m	2 ^h 22 ^m	46. ^s 4	4826
6 ^h 03 ^m	3 ^h 23 ^m	46. ^s 7	4794
7 ^h 41 ^m	5 ^h 01 ^m	48. ^s 3	4636
9 ^h 46 ^m <i>p</i>	7 ^h 06 ^m	49. ^s 5	4523
5. 8 ^h 18 ^m <i>a</i>	17 ^h 38 ^m	53. ^s 9	4154
10 ^h 07 ^m <i>p</i>	31 ^h 27 ^m	66. ^s 1	3388
6. 8 ^h 31 ^m <i>a</i>	41 ^h 51 ^m	70. ^s 6	3172
9 ^h 24 ^m <i>p</i>	54 ^h 44 ^m	89. ^s 5	2502
7. 10 ^h 55 ^m <i>a</i>	68 ^h 15 ^m	97. ^s 0	2309

Та же самая картина повторилась и въ другомъ продъланномъ мною опыте (начать 8-го іюля) съ циркуляціей воздуха черезъ новую порцію воды изъ колодца № 1. Токъ i , соотвѣтственно такой же величины какъ и въ первомъ опыте, въ теченіе первыхъ часовъ послѣ циркуляціи (на этотъ разъ въ теченіе 3-хъ часовъ) возрастаіъ до maximum'а (на этотъ разъ на 46% своей первоначальной величины), чтобы затѣмъ медленно падать. Такіе результаты двухъ моихъ опытовъ измѣренія тока i въ воздухѣ, продутоомъ черезъ воду изъ колодца № 1, дѣлаютъ вѣроятнымъ предположеніе, что въ испытуемой водѣ заключается въ растворѣ радиоактивный газъ, подобный, а можетъ быть и тождественный радіевой эманаціи; что этотъ газъ въ замкнутой цѣпі, содержащей воду и воздухъ, распредѣляется между водой и воздухомъ до нѣкотораго стационарного состоянія соотвѣтственно законамъ Dalton'a и Henry, совершенно такъ, какъ это доказано для подлинной радиевой эманаціи Hимstedt'омъ и R. v. Traubenberg'омъ, (Phys. Zeitschr., 5, 1904, р. 210 и 6, 1905, р. 820). Въ виду такого предположенія представляло большої интересъ изученіе измѣненія разности $i - i_N$ въ зависимости отъ времени. Для этой цѣли я продолжалъ наблюденія, начатыя 8 іюля, по 17-ое іюля включительно. Условія, въ которыхъ производились эти наблюденія, не благопріятствовали ихъ точности. Во-первыхъ, имѣлось опасеніе, что герметичность колокола могла пострадать отъ тряской перевозки инструмента; во-вторыхъ, мой колоколь я могъ устанавить для наблюденій только на окнѣ, да къ тому-же обращенномъ на югъ, и потому, хотя окно, насколько можно было въ жиломъ помѣщеніи, держалось закрытымъ, приборъ нагрѣвался солнечными лучами. Такое нагрѣваніе могло усиливать утечку газовъ изъ подъ колокола. Дѣйствительно до 14-го іюля я наблюдалъ, что въ теченіе дня уменьшеніе тока разсѣянія совершалось замѣтно быстрѣе, чѣмъ въ теченіе ночи; а съ 14 іюля такое явленіе обнаруживалось уже гораздо менѣе рѣзко. Какъ разъ съ 14 іюля погода стала и долго оставалась пасмурной, а до 14-го стояли ясные солнечные дни. Было еще одно обстоятельство, которое могло усложнить выясненія связи между $i - i_N$ и t . Дѣло въ томъ, что только съ 13-го іюля токъ i настолько ослабѣлъ, что сталъ „токомъ насыщенія“. (Въ этомъ я убѣждаюсь, сравнивая свои наблюденія съ наблюденіями проф. A. П. Соколова надъ затуханіемъ электропроводности газа изъ источника „Нарзанъ“ въ таблицѣ I его статьи „Радиоактивность нѣкоторыхъ русскихъ минеральныхъ водъ, грязей и почвъ“, I. с. Колоколь и электроскопъ, которыми пользовался проф. A. П. Соколовъ, были почти тождественны съ моими), а связь между $i - i_N$ и t , конечно, будетъ измѣняться въ зависимости отъ измѣненія условій образования тока i . Поэтому въ нижеслѣдующемъ я разсматриваю только тѣ измѣренія тока i , которые произведены послѣ 7 часовъ вечера 13-го іюля.

Какъ уже выше сказано, наблюдалось при помощи секундомѣра время паденія праваго листочка электроскопа съ 16 по 9 дѣленіе шкалы, причемъ каждый разъ продѣльвалось одно за другимъ три опредѣленія этого времени. Затуханіе электропроводности шло сравнительно такъ медленно, а три послѣдовательныхъ измѣренія происходили такъ быстро, что за это время затуханіе электропроводности, конечно, никакъ не могло быть замѣчено. Изъ трехъ послѣдовательныхъ измѣреній времени паденія листочка отъ 16 до 9 дѣленія бралось среднее и относилось къ среднему моменту начала первого наблюденія и конца третьяго. При помощи полученнаго средняго значенія времени паденія листочка вычислялся для средняго момента токъ разсѣянія i , причемъ ездстроемкость электроскопа въ условіяхъ опыта принималось за 1; Δv , уменьшеніе потенціала, соотвѣтствующее вышеупомянутому паденію листочка, принято равнымъ 21991 нѣкоторыхъ единицъ потенціала, а время выражалось въ секундахъ. Разность $i - i_N$ мы будемъ обозначать въ дальнѣйшемъ черезъ J_t , гдѣ t обозначаетъ моментъ, къ которому относится токъ i . Комплексъ (J_t, t) мы будемъ называть „наблюденной точкой“. Всѣхъ наблюденныхъ точекъ имѣется въ нашемъ распоряженіи 17, причемъ i_N при вышеуказанныхъ единицахъ потенціала будетъ представляться числомъ 0.3, первое значеніе тока i числомъ 143.6, а послѣднее (17-ое) числомъ 62.9. Такъ какъ при опредѣленіи i максимальновозможная ошибка можетъ достигать 5% измѣряемой величины, то ясно, что величина i_N въ нашемъ случаѣ теряется въ ошибкахъ наблюденій, и ей вполнѣ можно пренебречь. Изъ 17 наблюденныхъ точекъ я образовалъ 11 паръ (1—7, 2—8, 3—9, 4—10, 5—11, 6—12, 7—13, 8—14, 9—15, 10—16, 11—17) и для каждой пары соотвѣтственно равенству

$$J_t = J_t e^{-\lambda(t' - t)}$$

вычислимъ величину $\log(e^{-\lambda})$. Результаты этихъ вычисленій оказались слѣдующіе

-0.00414	-0.00382	-0.00432
450	401	378
406	393	375,
411	374	

откуда среднее будетъ—0.00401. Наибольшее отклоненіе отдѣльныхъ величинъ $\lg(e^{-\lambda})$ отъ средняго составляетъ 12%. Но если при опредѣленіи величины J_t максимальновозможная ошибка можетъ достигать 5%, то по формулѣ

$$\frac{10^0 \cdot \lg e}{\lg \left(\frac{J'_t}{J_t} \right)}, \quad \dots \dots \dots \dots \dots \dots \dots \quad (1)$$

представляющей максимальную возможную ошибку для $\lg(e^{-\lambda})$, таковая ошибка может достигать 20% съ слишкомъ. Отсюда слѣдуетъ, что въ 11 значеній $\log(e^{-\lambda})$ можно считать отличающимися другъ отъ друга лишь благодаря случайнымъ ошибкамъ наблюдений, и что для каждой пары наблюденныхъ точекъ $\lg(e^{-\lambda})$, есть величина постоянная, равная

$$-0.00401 \pm 0.00005,$$

гдѣ $+0.00005$ представляетъ вѣроятную погрѣшность средняго результата вычислениѧ $\lg(e^{-\lambda})$. Но въ такомъ случаѣ для всякой наблюденной нами точки справедливо въ предѣлахъ ошибокъ наблюдений соотношеніе

$$J_t : e^{-\lambda} = \text{constans},$$

при чмъ λ , вычисленное изъ условія $\lg(e^{-\lambda}) = -0.00401$, будеть ровно $0.00923 \frac{1}{\text{часъ}}$. Примемъ за начало счета времени моментъ начала циркуляціи, и обозначимъ вышевведенную константу (constans) черезъ J_0 . Тогда получается равенство

$$J_t = J_0 e^{-\lambda t} \dots \dots \dots \quad (2)$$

Величину J_0 можно найти по любой изъ нашихъ „точекъ наблюдений“. Я вычислилъ J_0 по каждой изъ этихъ точекъ, взялъ среднее и получилъ число 466,6. Принимая J_t и t за переменныя, мы можемъ разсматривать равенство (2), какъ уравненіе нѣкоторой кривой. Всѣ наблюденные нами точки будутъ отклоняться отъ этой кривой лишь вслѣдствіе ошибокъ наблюдений. Чтобы нагляднѣе представить всѣ уклоненія наблюденныхъ точекъ отъ кривой съ уравненіемъ (2) и съ вышеноайденными константами λ и J_0 , я по равенству (2) вычислилъ $J_{120}, J_{130}, \dots, J_{220}$, нанесъ на діаграмму 11 точекъ, откладывая по оси абсциссъ время въ часахъ, а по оси ординатъ величины J_{120} и т. д., и по этимъ точкамъ вычертилъ кривую. По этой кривой я разыскалъ 17 ординатъ для всѣхъ тѣхъ t , для которыхъ имѣются „наблюденныя точки“. Полученные такимъ образомъ величины J_t я сравнилъ съ дѣйствительно найденными.

Результаты такого сравненія заключаются въ нижеслѣдующей таблицѣ II, а на діаграммѣ 1 изображена кривая

$$J_t = 466,6 e^{-0,00923 t}$$

и всѣ „наблюденныя точки“.

ДІАГРАММА I.

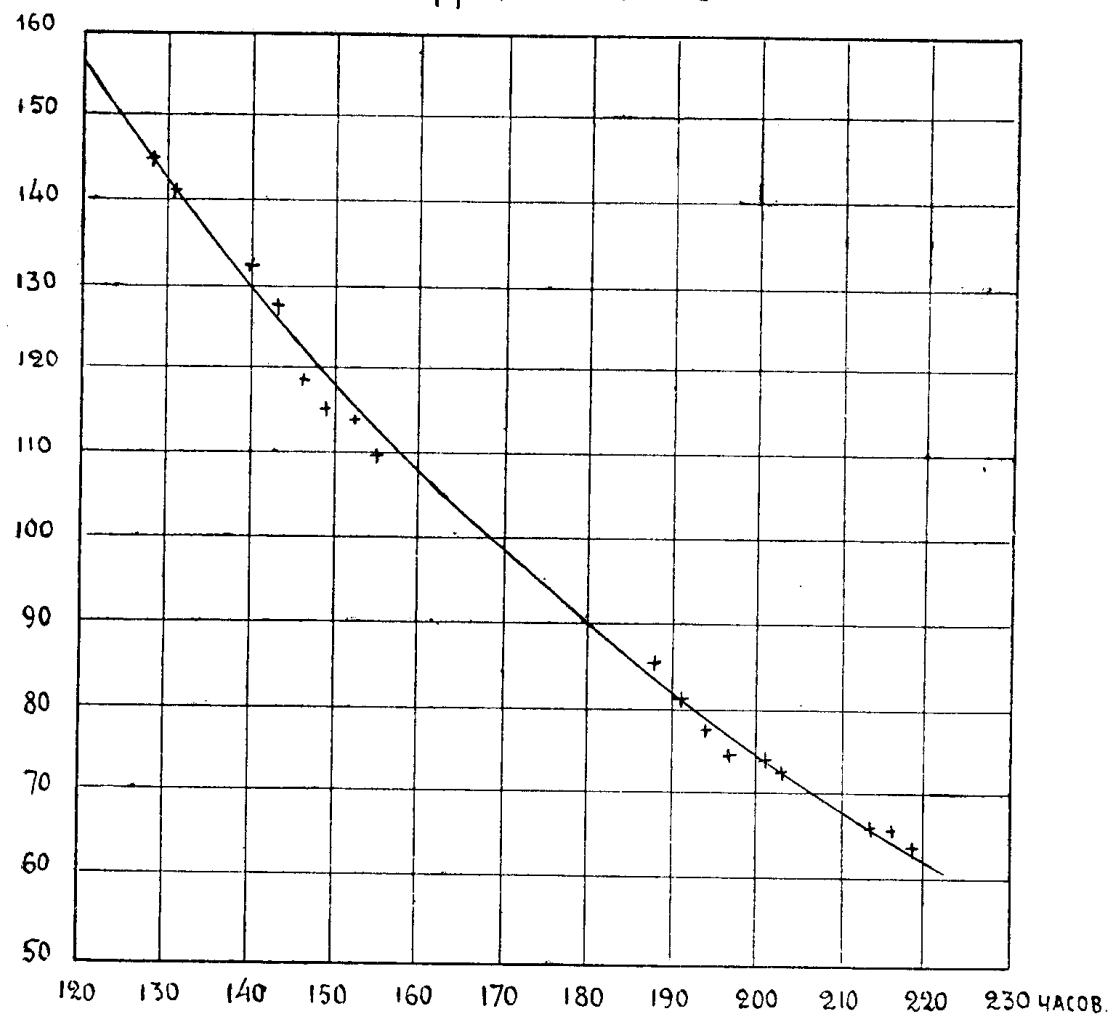


Таблица II.

№	Время отъ начала циркуляції въ часахъ.	Наблюденное J _t .	Вычисленное J _t .	Разность.
1	128.3	143.6	143.2	+0.4
2	130.0	140.5	140.9	-0.4
3	140.3	132.8	128.2	+4.6
4	143.3	126.9	125.0	+1.9
5	146.2	118.1	121.8	-3.7
6	149.2	114.9	118.5	-3.6
7	152.25	114.1	115.0	-0.9

№	Время отъ начала цир- куляціи въ часахъ.	Наблюден- ное J_{tf} .	Вычислен- ное $J +$	Разность.
8	154.7	108.7	112.6	-3.9
9	188.2	84.8	82.2	+2.6
10	191.3	80.6	80.0	+0.6
11	194.3	77.3	78.0	-0.7
12	197.2	73.7	76.0	-2.3
13	200.9	73.4	73.5	-0.1
14	202.75	71.8	72.0	-0.2
15	212.95	66.2	66.0	+0.2
16	215.45	65.3	64.2	+1.1
17	218.3	62.9	62.8	+0.1

Итакъ наблюденныя нами величины J_t въ своихъ измѣненіяхъ со временемъ несомнѣнно слѣдуютъ простому экспотенциальному закону, какъ ему слѣдуетъ всякое простое радиоактивное превращеніе, и соответствующее этому превращенію измѣненіе электропроводности газа, поглощающаго тѣ радіаціи, которыя сопутствуютъ радиоактивному превращенію. Такимъ образомъ несомнѣнно подъ на-
шимъ колоколомъ мы имѣемъ радиоактивный газъ и при томъ близкій по своимъ свойствамъ къ эманаціи радія. Дѣйствительно, для нашего случая величина θ , опредѣляемая равенствомъ $\theta = \frac{\ln 2}{\lambda}$, и пред-
ставляющая время, въ теченіе которого J_t уменьшается на $\frac{1}{2}$ своей ве-
личины, оказывается равной 3.13 сутокъ (изъ $\lambda=0.00923 \frac{1}{\text{часъ}}$), а для
радіевой эманаціи наиболѣе вѣроятнымъ считается для θ значение, най-
денное Rümelin'омъ (Phys. Zeitschr., 8, 1907, p. 803) и равное 3.75 сутокъ
(при $\lambda=0.00788$). Такъ какъ нельзя сомнѣваться, что изъ нашего ко-
локола во время продолжительного наблюденія токовъ i радиоактивный
газъ могъ утекать наружу, то надо считать, что полученное нами число
для λ превышаетъ дѣйствительное значение λ , а найденное число для θ
меньше дѣйствительного. Дѣло въ томъ, что медленное утеканіе
радиоактивнаго газа, если только условія утечки не мѣняются, не ма-
етъ сириусъ экспотенциального закона затуханія активности, а лишь уве-
личиваетъ λ , соответственно уменьшая θ . Такое свойство малыхъ уте-
чекъ радиоактивнаго газа было установлено, напр., проф. A. P. Соколо-
вымъ, который наблюдалъ затуханіе активности газа изъ источника
„Нарзанъ“, и оно становится совершенно понятнымъ, если допустить,

что количество утекающего радиоактивного газа въ элементъ времени Δt пропорционально Δt и количеству всего газа, имѣющагося въ моментъ t въ нашемъ резервуарѣ. Такимъ образомъ возникаетъ предположеніе, что тотъ радиоактивный газъ, который можно извлечь изъ изслѣдуемой нами воды, есть эманація радія, тотъ самый радиоактивный газъ, который открылъ Dorn'омъ, изученъ P. Curie, Rutherford'омъ и Soddy и др. гими. Для подтвержки этого предположенія нужно было бы наблюсти затуханіе подлинной радиевой эманаціи тѣмъ же самымъ инструментомъ и въ тѣхъ же условіяхъ, въ которыхъ произведено наблюденіе надъ измѣненіями i со временемъ. Но такъ какъ у меня не было подъ рукой солей радія, то я рѣшилъ вышеуказанное сравненіе съ эманаціей радія произвести по возвращеніи въ Томскъ, привезя туда порцію воды изъ колодца № 1. Эта вода оказалась настолько „крѣпкой“ по содержанию радиоактивной эманаціей, что точки i , производимые этой эманаціей, можно было удобно наблюдать и дней чрезъ 10—14 послѣ взятія порціи воды изъ колодца № 1.

§ 2. Іонизація въ газѣ, собранномъ надъ колодцемъ № 2, и измѣненіе этой іонизаціи со временемъ.

Желая знать, насколько рѣзко выражены радиоактивные свойства газовъ, поднимающихся со дна колодцевъ № 1 и № 2, мы (В. П. Марковъ и я) собрали подъ водой въ деревянное ведро газъ, выдѣляющейся надъ колодцемъ № 2, въ количествѣ 16 литровъ приблизительно и затѣмъ черезъ осушители и трубку съ чистой ватой засосали этотъ газъ подъ нашъ колоколь, осторожно принесенный для этой цѣли къ колодцу № 2. Мы начали засасывать газъ подъ колоколь въ 4^h 45^m *p* (19-го юля), а въ 5^h 35^m *p* мы были уже на мѣстѣ нашей постоянной работы и приступили къ наблюденіямъ тока разсѣянія, наблюдая при помощи секундомѣра время паденія праваго листочка электроскопа отъ 16 до 9 дѣленій шкалы. Эти наблюденія продолжались болѣе 8 сутокъ (по 28 юля). Ниже въ таблицѣ III приведены нѣсколько первыхъ наблюдений.

Таблица III.

Моменты наблюденія.	Время отъ начала засасыванія.	Время паденія съ 16 до 9 дѣленій шкалы.	$i = \frac{62.2}{t}$ вольтъ—емкость часъ.
VII. 19. 5 ^h 35 ^m <i>p</i>	0 ^h 50 ^m	5. ^s 5	40713
5 ^h 49 ^m <i>p</i>	1 ^h 04 ^m	5. ^s 0	44784
6 ^h 05 ^m <i>p</i>	1 ^h 20 ^m	4. ^s 9	45698
6 ^h 35 ^m <i>p</i>	1 ^h 50 ^m	4. ^s 7	47642
7 ^h 05 ^m <i>p</i>	2 ^h 20 ^m	4. ^s 6	48678
7 ^h 35 ^m <i>p</i>	2 ^h 50 ^m	4. ^s 4	50891

Моментъ наблюденія.	Время отъ начала засасыванія.	Время паденія съ 16 до 9 дѣленія шкалы.	$i = \frac{62.2}{t}$ вольтъ—емкостъ часъ.
	8 ^h 05 ^m <i>p</i>	3 ^h 20 ^m	4.4
	8 ^h 35 ^m <i>p</i>	3 ^h 50 ^m	4. ^s 4
	9 ^h 05 ^m <i>p</i>	4 ^h 20 ^m	4. ^s 5
	9 ^h 35 ^m <i>p</i>	4 ^h 50 ^m	4. ^s 5
VII. 20.	8 ^h 27 ^m <i>a</i>	15 ^h 42 ^m	5. ^s 1
	5 ^h 00 ^m <i>p</i>	24 ^h 15 ^m	6. ^s 2
VII. 21.	7 ^h 50 ^m <i>a</i>	39 ^h 05 ^m	6. ^s 7
	2 ^h 00 ^m <i>p</i>	45 ^h 15 ^m	7. ^s 5
	9 ^h 30 ^m <i>p</i>	52 ^h 45 ^m	7. ^s 9
VII. 22.	7 ^h 30 ^m <i>a</i>	62 ^h 45 ^m	8. ^s 3

Изъ этой таблицы видно, что первое наблюденіе даетъ для i величину въ 11975 разъ превосходящую токъ натурального разсѣянія ($i_N=3.4$), а наблюденный приблизительно спустя $2\frac{1}{2}$ часа максимальный токъ разсѣянія превосходитъ i_N въ 14970 разъ. Такимъ образомъ мы имѣемъ возрастаніе тока разсѣянія до нѣкотораго *maximum'a*, наступившаго приблизительно черезъ $3\frac{1}{2}$ часа отъ начала засасыванія и превосходящаго первоначально измѣренный токъ i на 25% его величины—а затѣмъ медленное паденіе. Изучая это медленное паденіе, я установилъ съ VII. 21.—7^h50^m *a* по VII. 28.—7^h53^m *a* 40 точекъ наблюденія (J_t, t), совершенно такъ же, какъ я дѣлалъ это въ соотвѣтствующихъ наблюденіяхъ въ воздухѣ, продутомъ черезъ воду; только Δv , паденіе потенціала, соотвѣтствующее паденію листочка отъ 16 до 9 дѣленія, я оцѣнилъ на этотъ разъ въ 1000 произвольныхъ единицъ потенціала. Но вотъ одна существенная разница въ условіяхъ наблюденія затуханія токовъ i прежде—съ водой и теперь—съ газомъ: теперь для всѣхъ 40 „точекъ наблюденія“ токи i были далеки отъ насыщенія.

Собственно говоря дѣло не въ токѣ насыщенія, а въ томъ, чтобы въ теченіе всей серии наблюдений токовъ i для образованія тока затрачивалась всегда одна и та же часть α имѣющихъся на лицо въ данный моментъ іоновъ. Для случая насыщенаго тока $\alpha=1$, для ненасыщенаго $\alpha<1$. Вдали отъ точки насыщенія и въ теченіе нѣкотораго промежутка времени величина α при постоянномъ начальномъ потенціалѣ v и при постоянномъ Δv могла измѣняться настолько незначительно, что это измѣненіе не могло ни затушевать дѣйствительного закона затуханія предполагаемый радиактивный эманациі, ни сколько нибудь значительно измѣнить константы λ . Это предположеніе, какъ увидимъ ниже, оказалось правильнымъ. Образовавъ изъ 40 наблюденныхъ точекъ 30 паръ (1—11, 2—12, ..., 30—40) и вычисливъ для каждой пары соотвѣт-

ственno равенству $J_t' = J_t - \lambda(t' - t)$ величину $\log(e - \lambda)$, я получилъ въ среднемъ

$$-0.003891 \pm 0.000044,$$

при чёмъ наибольшее отклонение отъ средняго составляло 18%, въ то время какъ максимально возможное, вычисленное по формулѣ (1), было 30% съ лишкомъ. Величина J_0 , вычисленная какъ среднее по всѣмъ 40 наблюденнымъ точкамъ согласно равенству

$$J_t = J_0 e^{-\lambda t}$$

оказалась равной 206.8. Въ нижеслѣдующей таблицѣ IV можно видѣть, насколько наблюденныя точки отступаютъ отъ кривой

$$J_t = 206.8 e^{-0.008959 t},$$

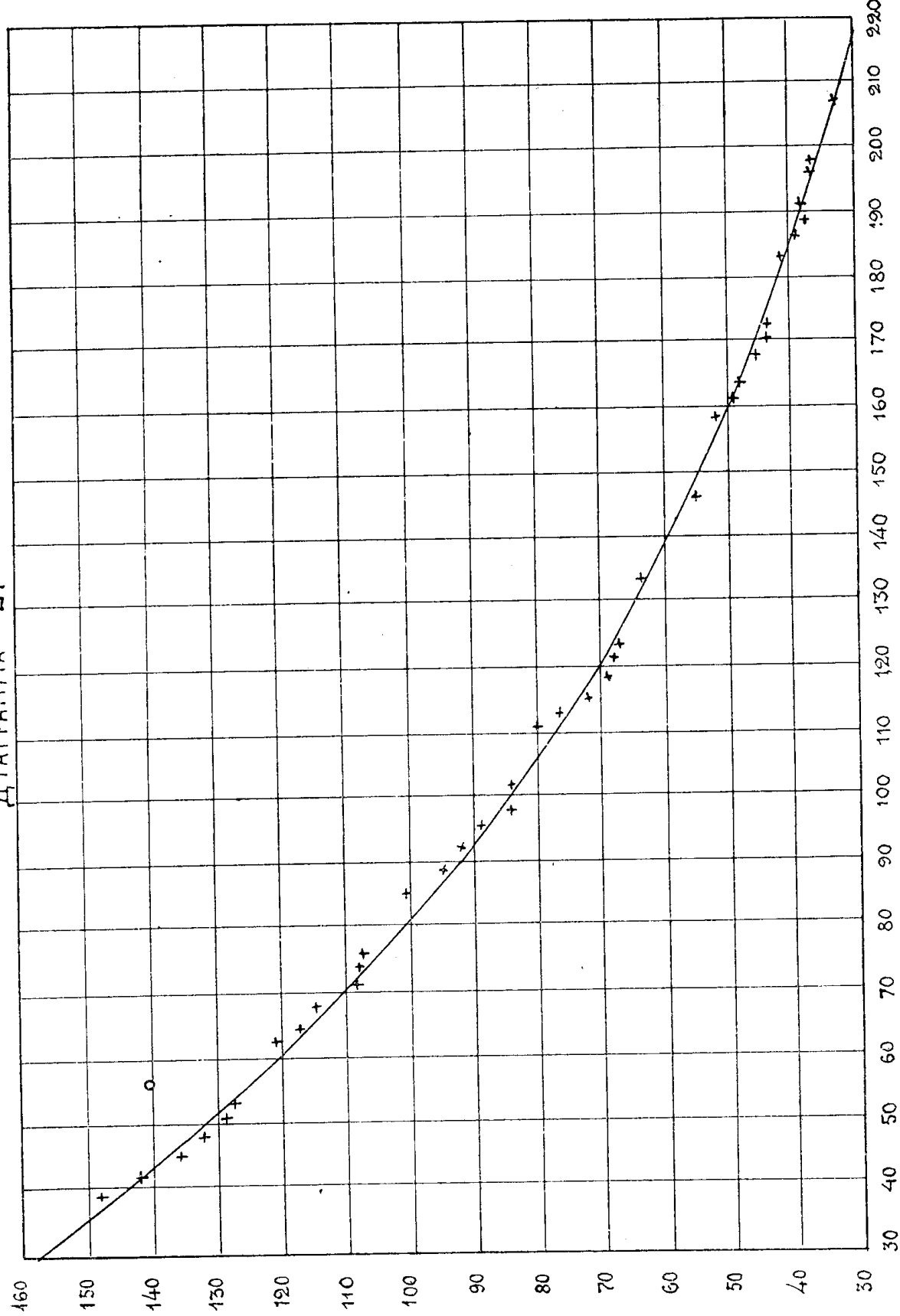
которая вмѣстѣ со всѣми наблюденными точками изображена на діаграммѣ № 2. Разматривая таблицу, мы видимъ, что максимальное уклоненіе вычисленныхъ и наблюденныхъ величинъ J_t составляетъ 4.5%, въ то время какъ ошибки въ опредѣлениі i могли достигать 5% и даже 6%. Такимъ образомъ, простой экспоненциальный законъ затуханія величинъ J_t вполнѣ выясняется.

Таблица IV.

№	Время отъ начала засасыванія газа подъ коло- колъ.	Наблюден- ное J_t	Вычислен- ное J_t	Разность.
1	39.1	149.2	146.0	+3.2
2	42.25	142.9	141.5	+1.4
3	45.25	135.1	137.8	-2.7
4	47.25	131.6	134.8	-3.2
5	50.25	128.2	131.8	-3.6
6	52.75	126.6	128.0	-1.4
7	62.75	120.5	117.5	+3.0
8	65.25	116.3	115.0	+1.3
9	68.25	114.9	112.0	+2.9
10	71.25	108.7	109.0	-0.3
11	74.25	107.5	106.5	+1.0
12	76.25	107.5	104.8	+3.3

№№	Время отъ начала заса- сывания газа подъ коло- котъ.	Наблюден- ное J_t	Вычислен- ное J_t	Разность.
13	86.25	100.0	95.5	+4.5
14	89.25	94.3	92.9	+1.4
15	92.25	91.7	90.3	+1.4
16	95.25	88.5	88.0	+0.5
17	98.25	83.6	85.8	-2.2
18	100.7	84.0	83.4	+0.6
19	110.8	79.4	76.2	+3.2
20	113.25	76.3	75.0	+1.3
21	116.25	71.9	73.0	-1.1
22	119.25	68.5	71.0	-2.5
23	122.25	67.6	69.0	-1.4
24	124.25	67.1	67.8	-0.7
25	134.3	62.5	62.0	+0.5
26	146.3	53.7	55.8	-2.1
27	158.7	50.7	49.7	+1.0
28	161.3	49.3	48.7	+0.6
29	164.25	47.4	47.4	0
30	167.25	45.5	46.0	-0.5
31	170.25	42.9	44.8	-1.9
32	172.6	42.9	44.0	-1.1
33	183.8	40.3	39.8	+0.5
34	185.25	39.2	39.1	+0.1
35	188.25	36.7	38.2	-1.5
36	191.3	36.7	37.0	-0.3
37	195.6	36.9	35.7	+1.2
38	196.6	36.4	35.3	+0.9
39	196.75	36.1	35.2	+0.9
40	207.1	32.3	32.2	+0.1

ДИАГРАММА 2.



Уже при первомъ вглядѣ на діаграмму № 2 можно замѣтить, что наблюденныя точки располагаются въ отдельныя гнѣзда. Идя по кривой въ сторону увеличивающихся временъ, мы проходимъ четыре гнѣзда, каждое по 6 точекъ; затѣмъ двѣ отдельныя точки, затѣмъ опять два гнѣзда по 6 точекъ и, наконецъ, одна точка. Оказывается, что каждое гнѣздо соотвѣтствуетъ особому дню: первое гнѣздо—это наблюденія 21-го іюля, затѣмъ 22, 23 и 24 іюля; 25-го было сдѣлано всего два наблюденія: одно утромъ и одно вечеромъ. Далѣе мы имѣемъ гнѣзда за 26 и 27 іюля, и одно наблюденіе 28 іюля. Всѣ гнѣзда обладаютъ слѣдующими свойствами: первыя точки каждого гнѣзда расположены всегда выше кривой и при томъ значительно выше, чѣмъ всѣ другія точки гнѣзда. Второе свойство, наиболѣе рѣзко выраженное у гнѣздъ 1, 4 и 5-го, состоить въ томъ, что первая половина гнѣзда лежитъ выше кривой, а вторая ниже. Эти свойства нашихъ гнѣздъ указываютъ на то, что въ теченіе дня затуханіе тока разсѣянія шло быстрѣе, чѣмъ въ теченіе ночи. Такимъ образомъ гнѣзда иллюстрируютъ то явленіе, которое въ предыдущемъ параграфѣ на страницѣ 5 мною было отмѣчено при описаніи наблюденій надъ токомъ затуханія въ періодъ съ 8 по 13 іюля включительно, когда стояла хорошая погода съ солнечными днями. Въ періодъ времени съ 21 по 28 іюля нашъ колоколь стоялъ на томъ же окнѣ какъ и раньше, но за это время погода была перемѣнная, чаще пасмурная, благодаря чему явленіе болѣе быстрошло днемъ, чѣмъ ночью затуханіе тока *i* хотя и замѣтно вполнѣ опредѣленно, тѣмъ не менѣе все таки менѣе рѣзко, чѣмъ это было въ періодъ 8—13 іюля.

§ 3. Сравненіе константъ затуханія іочизацій въ воздухѣ, продутомъ черезъ воду изъ колодца № 1, и газѣ, собранномъ надъ колодцемъ № 2.

Большой интересъ представляеть для насъ сравненіе константъ $\log(e^{-\lambda})$, λ и θ , полученныхъ нами при изученіи эманаціи, заключающейся въ водѣ колодца № 1, и эманаціи, заключающейся въ газѣ, который мы собрали надъ колодцемъ № 2. Нижеслѣдующая таблица V содержитъ эти константы для того и другого случая. Въ третьей горизонтальной графѣ таблицы показано, насколько вѣроятныя погрѣшности среднихъ результатовъ позволяютъ сблизить соотвѣтствующія константы.

Таблица V.

	$\log(e^{-\lambda})$	$\lambda \frac{1}{\text{часъ}}$	$\theta \text{ сутокъ}$
Эманація въ газѣ	-0.00389 ± 0.00004	0.00896 ± 0.00010	3.22 ± 0.035
Эманація въ водѣ	-0.00401 ± 0.00005	0.00923 ± 0.00011	3.13 ± 0.04
Возможное сближеніе константъ	$0.003935—0.00396$	$0.00906—0.00912$	$3.185—3.17$

изъ этой таблицы видно, что разности соответствующихъ константъ хотя и очень малы, но все же лежать виѣ вѣроятныхъ ошибокъ среднаго результата, при чѣмъ θ для эманаціи въ газѣ больше, чѣмъ θ для эманаціи въ водѣ. Это обстоятельство, однако, отнюдь не можетъ свидѣтельствовать о разности природы той и другой эманаціи, такъ какъ при изученіи затуханія эманаціи въ газѣ мы пользовались ненасыщенными токами, въ слѣдствіе чего θ должна была оказаться нѣсколько болѣе чѣмъ она есть на самомъ дѣлѣ, а λ меныше. Итакъ надо считать, что эманація, найденная нами въ водѣ колодца № 1, и эманація, найденная въ газѣ, собранномъ надъ колодцемъ № 2, представляютъ одну и ту же эманацію.

§ 4. Сравненіе константъ затуханія іонизаціи въ воздухѣ, продутомъ черезъ воду изъ колодца № 1, съ таковыми же константами эманаціи радиа.

3-го августа въ 7 часовъ утра стеклянная бутыль въ $\frac{1}{4}$ ведра была наполнена водой изъ колодца № 1, закупорена пробкой и менделѣевской замазкой и увезена въ Томскъ, гдѣ съ 13-го августа я и изучалъ измѣненіе токовъ разсѣянія подъ колоколомъ *Elster'a—Geitel'*я посle циркуляціи воздуха въ замкнутой цѣпіи черезъ привезенную порцію воды. Предварительно были приняты всѣ возможныя мѣры къ тому, чтобы уничтожить погрѣшности въ герметичности колокола. Цѣпь была составлена совершенно такъ же, какъ и въ Бѣлокурихѣ. Натуральное разсѣяніе до введенія въ цѣпь испытуемой воды было таково, что правый листочекъ отъ 18 до 17 дѣленія шкалы падалъ въ теченіе 69 минутъ. Когда всѣ наблюденія надъ токами i были закончены, и можно было снова измѣрить натуральное разсѣяніе, то оказалось, что листочекъ падалъ въ томъ же промежуткѣ въ теченіе 72 минутъ. Для вычисленія i_N я взялъ среднее изъ 72 и 69. Помѣщеніе, въ которомъ были установлены цѣпь и колоколь, хорошо защищено отъ солнечныхъ лучей и вообще отъ всякихъ колебаній температуры. Совершенно такъ же какъ въ Бѣлокурихѣ, было установлено 32 точки наблюденія (J_t, t), только теперь уже нельзя было пренебрегать токомъ i_N , да наблюдалось паденіе листочка не отъ 16 до 9, а отъ 18 до 17 дѣленія шкалы, и соотвѣтствующее такому паденію листочка паденіе потенциала оцѣнивалось въ 50000 нѣкоторыхъ единицъ потенциала (на вольты это 8.1). Электроемкость заряженной системы подъ колоколомъ по прежнему принималась равной 1. При такихъ условіяхъ i_N оказалось равнымъ 11.8, первый наблюденный токъ i_1 представлялся числомъ 268, максимальный наблюденный (черезъ 4^h 28^m отъ начала циркуляціи) числомъ 342.5 и послѣдний наблюденный, i_{32} , числомъ 81.2. Всѣ токи i были токами насыщенія. Изъ 23 послѣднихъ точекъ (J_t, t). Я взять произвольно 5 точекъ (№№ 10, 14, 18, 26, 28), составилъ изъ нихъ всѣ возможныя группы сочетаній по 2 и для каждой группы соотвѣтственно formulъ

$$J_t' = J_t e^{-\lambda(t'-t)}$$

вычислилъ величину $\log (e^{-\lambda})$. Десять результатовъ этихъ вычислений дали въ среднемъ

$$-0.003507 \pm 0.000041,$$

гдѣ ± 0.000041 есть вѣроятная погрѣшность средняго результата. Наибольшее отклоненіе оть средняго результата достигало 15%, въ то время какъ максимальная возможная ошибка при вычислениі $\log (e^{-\lambda})$, если оцѣнивать возможную максимальную ошибку при опредѣленіи i въ 5%, могла достигать даже 40%. Постоянная J_0 , вычисленная по пяти вышеуказаннымъ точкамъ согласно равенству

$$J_t = J_0 e^{-\lambda t}$$

оказалась равной 296 при λ равномъ $0.008075 \pm 0.000095 \frac{1}{\text{часъ}}$. Въ нижеслѣдующей таблицѣ VI можно видѣть, насколько наблюденыя точки отступаютъ оть кривой

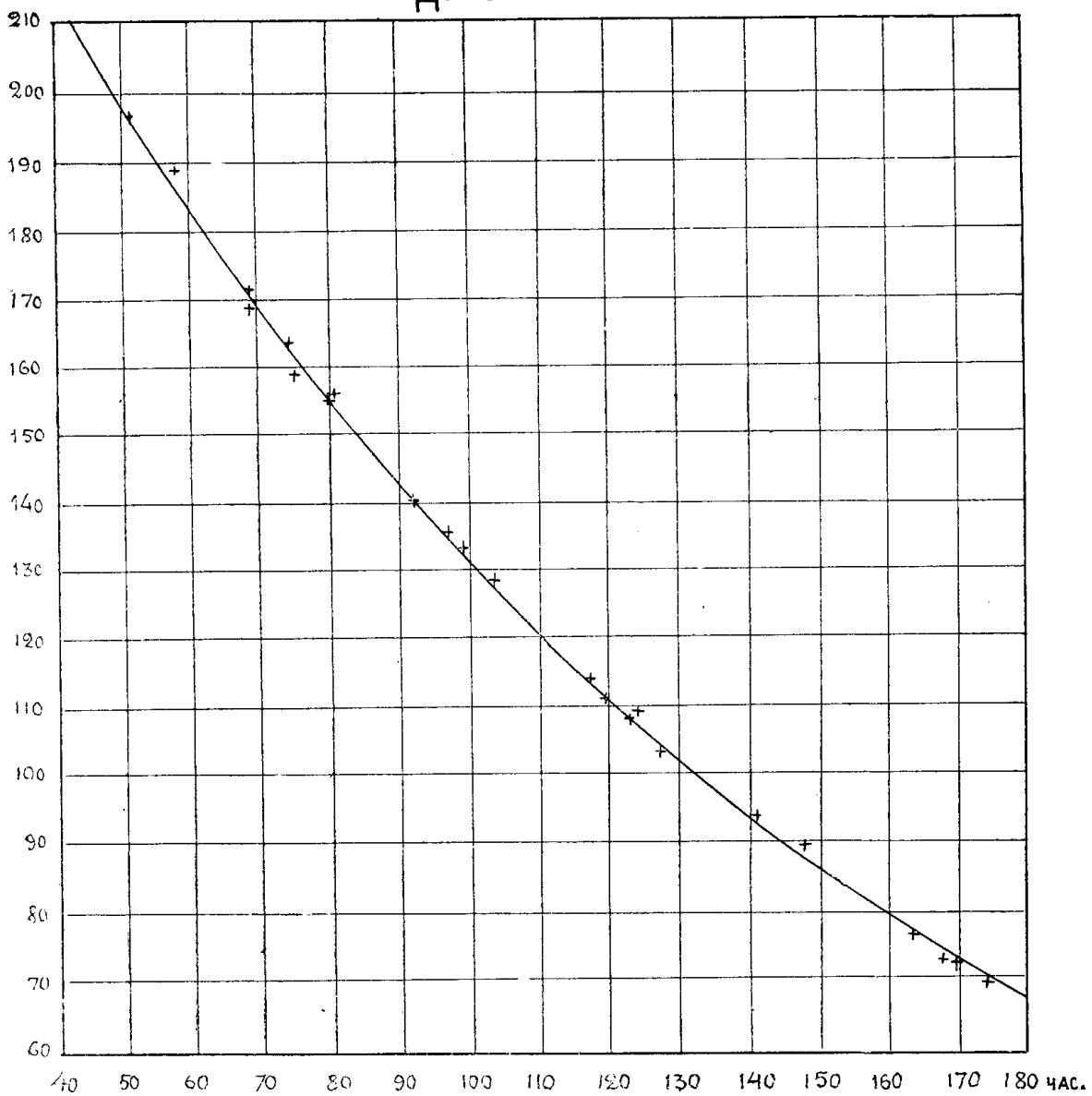
$$J_t = 296 \cdot e^{-0.008075 t},$$

которая вмѣстѣ со всѣми наблюдеными точками изображена на діаграммѣ № 3.

Таблица VI.

№№	Время отъ начала циркуляціи въ часахъ.	Наблюденное J_t	Вычисленное J_t	Разность.
1	0.49	257.0	296.0	-39
2	2.465	310.8	290.0	+20.8
3	4.43	330.7	285.0	+45.7
4	5.478	315.0	283.0	+32.0
5	6.478	312.9	280.4	+32.5
6	19.495	267.5	251.3	+16.2
7	26.08	247.2	240.0	+7.2
8	32.03	236.9	228.4	+8.5
9	44.55	209.4	205.5	+3.9
10	50.4	196.5	196.4	+0.1
11	56.87	189.0	185.7	+3.3
12	67.53	168.7	170.2	-1.5
13	68.05	170.0	169.8	+0.2
14	73.81	162.4	161.8	+0.6
15	75.12	157.7	159.0	-1.3
16	80.5	154.3	153.2	+1.1
17	80.62	155.4	152.8	+2.6
18	92.2	139.7	139.0	+0.7
19	97.23	135.2	133.0	+2.2
20	99.18	132.7	131.2	+1.5
21	103.41	129.0	126.8	+2.2
22	117.45	113.8	113.0	+0.8
23	120.00	110.8	110.8	0
24	123.93	107.5	107.2	+0.3
25	124.45	190.0	107.0	+2.0
26	127.5	103.1	104.1	-1.0
27	140.78	93.9	93.0	+0.9
28	147.95	89.0	88.0	+1.6
29	164.10	76.4	77.0	-0.6
30	168.31	72.7	74.5	-1.8
31	170.05	72.7	73.6	-0.9
32	174.78	69.4	70.2	-0.8

ДІАГРАММА 3.



Разсматривая таблицу, видимъ, что для послѣдніхъ 23 точекъ разность между наблюдеными и вычисленными J_t нигдѣ не превосходитъ 2.5 %, и, слѣдовательно, послѣднія 23 точки вполнѣ слѣдуютъ простому экспоненциальному закону, въ то время какъ первыя точки такому закону не слѣдуютъ. Прежде чѣмъ разсуждать о причинахъ этого послѣдняго обстоятельства, мы сравнимъ полученные нами константы λ и θ съ таковыми же радиоевой эманациіи. Какъ уже было замѣчено ранѣе, наиболѣйшимъ значеніемъ этихъ послѣдніхъ константъ считаются найденныя Rümelin'омъ (л. с.) $\lambda=0.00788 \frac{1}{\text{часть}}$ и $\theta=3.75$ сутокъ. Между тѣмъ изъ только что описанного наблюденія мы получили

$$\theta = 3.58 \pm 0.04 \text{ суток} \text{ и } \lambda = 0.008075 \pm 0.000095 \frac{1}{\text{час}}.$$

Полагая, что число 3.75 определено съ той же вѣроятной погрѣшностью, какъ и число 3.58, приходимъ къ заключенію, что разность между сейчасть найденными константами и соотвѣтствующими константами *Rümelin'*а выходитъ за предѣлы вѣроятныхъ погрѣшностей средняго результата. То же самое выходитъ при сравненіи моихъ константъ и съ константами, найденными для радиевой эманаціи *Rutherford'*омъ ($\theta = 3.71$ сутокъ и $\lambda = 0.00779$). Я не знаю, могу ли я объяснить такое несовпаденіе утечкой изъ колокола изслѣдуемой мною эманаціи, такъ какъ не знаю, достичь я или нѣть полной герметичности колокола. Но даже при положительномъ решеніи вопроса о герметичности отступленіе моихъ константъ отъ константъ, данныхъ для радиевой эманаціи *Rutherford'*омъ и *Rümelin'*омъ, еще не говоритъ противъ предположенія, что изучаемая мною эманація есть именно эманація радія, такъ какъ когда радиоактивная константа опредѣляется наблюденіями надъ іонизаціей, вызываемой въ атмосфѣрѣ замкнутаго сосуда очень сложными по составу радиаціями α , β , γ , то трудно вмѣсто кажуЩагося значенія, зависящаго отъ метода изслѣдованія и въ частности отъ сосуда, содержащаго радиоактивное тѣло, получить истинное значеніе константы. Такимъ образомъ, занимающій насъ вопросъ можетъ быть решенъ путемъ сравненія найденныхъ нами константъ лишь съ такими значеніями константъ радиевой эманаціи, которые найдены такимъ же (или лучшемъ же са мымъ) экземпляромъ колокола *Elster'a-Geitel'*я. Такія измѣренія константъ радиевой эманаціи были сдѣланы *R. Schenk'*омъ (*Richard Schenk, Radioactive Eigenschaften der Luft, des Bodens und des Wassers in und um Halle, Jahrbuch d. Radioaktivitt*, Bd. 2, 1905, p. 19), и имъ было найдено для λ число $0.008072 \frac{1}{\text{час}}$. Это число вполнѣ совпадаетъ съ найденнымъ мною. Оно было найдено *Schenk'*омъ, какъ и мною, лишь послѣ извѣстныхъ усилий уничтожить погрѣшности въ герметичности колокола.

Такимъ образомъ надо считать установленнымъ, что найденная въ водѣ колодца № 1 эманація, а слѣдовательно, и эманація, найденная въ газѣ, собранномъ надъ колодцемъ № 2, по истеченіи извѣстного времени отъ начала постепеннаго проникновенія этихъ эманацій подъ колоколь, замираютъ въ немъ совершенно также и съ тѣми же константами, какъ и радиева эманація послѣ того, какъ она пришла въ радиоактивное равновѣсіе съ продуктами своего распада. Такимъ образомъ, предположеніе о тождественности найденной нами эманаціи и эманаціи радія дѣлается еще болѣе вѣроятнымъ. Для окончательного же выясненія вопроса о природѣ изучаемыхъ эманацій, я счелъ необходимымъ сдѣлать наблюденія надъ явленіями паведенной активности, воспользовавшись для этой цѣли своимъ пребываніемъ въ д. Н. Бѣлокуриха, лѣтомъ 1908 года.

Глава II.

Радіоактивна індукція, производимая изслѣдуемой эманацией.

§ 1. „Нормальный“ электроскопъ Schmidt'a и наблюдаемое имъ затуханіе радиоактивной индукціи радія.

Въ 1905 году *H. W. Schmidt* описалъ (*Phys. Zeitschr.*, 6, 1905. p. 561) построенный имъ электроскопъ съ алюминіевымъ листочкомъ, съ разсъятелемъ, заключеннымъ въ особую отъ листочка камеру, и съ микроскопомъ для отсчитыванія показанія электроскопа. Этотъ простой инструментъ (на русскомъ языке вкратцѣ описанный у проф. Клоссовскаго въ его „Курсѣ метеорології“) при надлежащемъ выборѣ листочка (листочекъ не долженъ давать *Cri-Cri- явленія*, *Ebert*, *Phys. Zeitschr.*, 6, p. 642) и надлежащей градуировкѣ (см. *H. W. Schmidt*, *Phys. Zeitschr.*, 7, p. 157), и въ особенности послѣ того, какъ *K. Kurz* (*Phys. Zeitschr.*, 7, p. 375) снабдилъ алюминіевый листочекъ кварцевой нитью,—оказывается весьма удобнымъ электрометромъ и въ такомъ качествѣ былъ примѣненъ *Schmidt'*омъ въ его большомъ изслѣдованіи о распадѣ радія *A, B* и *C* (*H. W. Schmidt*, *Ueber den Zerfall von Radium A, B und C*, *Ann. d. Physik*, Bd. 21, 1906, p. 609). Въ этой работе рѣшенье между прочимъ слѣдующій интересующій насъ вопросъ. Нѣкоторое твердое тѣло *Z* въ теченіе времени ϑ , которое въ послѣдующемъ мы будемъ называть временемъ активированія, оставалось въ атмосферѣ радіевой эманаціи, а затѣмъ сколь можно быстро удалено изъ этой атмосферы и внесено въ ту камеру вышеуказанного электроскопа *Schmidt'*а, которая содержитъ въ себѣ разсѣятель. Эту камеру мы будемъ называть въ послѣдующемъ „пространствомъ разсѣятеля“ и обозначать черезъ *R*. Спрашивается, каковъ будетъ токъ разсѣянія, вызванный въ этомъ пространствѣ активированнымъ тѣломъ, и какъ этотъ токъ будетъ измѣняться со временемъ. Если предположить, что въ атмосферѣ эманаціи на наше тѣло *Z* осаждался только *RaA*, а *RaB* и *RaC* могли появиться на этомъ тѣлѣ лишь въ результатѣ распада осѣвшаго на *Z* радія *A*, то руководствуясь известной теоріей *Rutherford'a* и *Soddy* о распадѣ радиоактивныхъ атомовъ, количество радія *A*, которое будетъ еще оставаться на нашемъ тѣлѣ *Z* въ пространствѣ *R* черезъ время *t* по прекращеніи активированія, можно представить слѣдующимъ образомъ:

$$A = q e^{-\lambda_1 t} (1 - e^{-\lambda_1 \vartheta}), \dots \quad (3)$$

гдѣ *A* обозначаетъ количество атомовъ радія *A* въ моментъ времени *t*, λ_1 —константа превращенія радія *A*, а *q* обозначаетъ количество атомовъ *RaA*, которые имѣлись бы на тѣлѣ *Z* въ моментъ прекращенія активированія, т. е. при *t=0*, если бы ϑ , время активированія, продолжалось вполнѣ до момента наступленія радиоактивнаго равновѣсія между эма-

націй радія і радіемъ A , съ какового момента количества атомовъ радиа A и радиевой эманациі измѣняются въ дальнѣйшемъ такъ, что остаются строго пропорціональными. Обозначая черезъ λ_2 , λ_3 соотвѣтствующиі константы превращенія RaB и RaC , а черезъ B и C соотвѣтствующія количества атомовъ этихъ веществъ на тѣлѣ Z въ тотъ же моментъ времени t , для котораго написано равенство (3), мы можемъ написать два другихъ равенства:

$$B = q \left[\frac{\lambda_2}{\lambda_2 - \lambda_1} \cdot e^{-\lambda_1 t} (1 - e^{-\lambda_2 t}) + \frac{\lambda_1}{\lambda_1 - \lambda_2} \cdot e^{-\lambda_2 t} (1 - e^{-\lambda_1 t}) \right] \dots (4)$$

$$\begin{aligned} C = q & \left[\frac{\lambda_2 \lambda_3}{(\lambda_1 - \lambda_2)(\lambda_1 - \lambda_3)} \cdot e^{-\lambda_1 t} (1 - e^{-\lambda_2 t}) + \right. \\ & + \frac{\lambda_3 \lambda_1}{(\lambda_2 - \lambda_3)(\lambda_2 - \lambda_1)} \cdot e^{-\lambda_2 t} (1 - e^{-\lambda_3 t}) + \\ & \left. + \frac{\lambda_1 \lambda_2}{(\lambda_3 - \lambda_1)(\lambda_3 - \lambda_2)} \cdot e^{-\lambda_3 t} (1 - e^{-\lambda_1 t}) \right] \dots \dots \dots (5) \end{aligned}$$

Теперь для краткости мы перепишемъ всѣ три равенства слѣдуюющимъ образомъ:

$$A = q \cdot a, \quad B = q \cdot b, \quad C = q \cdot c,$$

гдѣ значенія a , b , c легко понять изъ разсмотрѣнія равенства (3), (4) и (5).

Іонизація, которую произведутъ въ пространствѣ разсѣятеля $Ra A$, $Ra B$ и $Ra C$, будеть слагаться изъ дѣйствій каждаго изъ этихъ веществъ въ отдельности,—дѣйствій, пропорціональныхъ количествамъ A , B и C . Но вслѣдствіе того, что эти вещества іонизуютъ воздухъ радіаціями, различающимися не только количественно, но и качественно, факторы пропорціональности между A , B и C и вызванными ими іонизаціями J_1 , J_2 , J_3 будуть для всѣхъ трехъ тѣлъ различны, и будуть зависѣть кромѣ того отъ формы и величины пространства разсѣятеля. Обозначая эти факторы черезъ k_1 , k_2 , k_3 , а полную іонизацію въ пространствѣ R въ какой-либо моментъ времени черезъ J , имѣемъ равенство

$$J = k_1 A + k_2 B + k_3 C,$$

или

$$J = q k_2 (k'' a + b + k' c),$$

такъ

$$k'' = \frac{k_1}{k_2} \text{ и } k' = \frac{k_3}{k_2}.$$

Наблюдая J для цѣлаго ряда моментовъ времени t , и зная a , b , c для соотвѣтствующихъ t по извѣстнымъ константамъ λ_1 , λ_2 , λ_3 и ϑ , какъ показываютъ равенства (3), (4) и (5), можно найти значенія величинъ k'' и k' для даннаго экземпляра электроскопа *Schmidt'a*. Для того эк-

земпляра, которымъ пользовался *Schmidt* въ своей вышеуказанной работе, и который ниже мы будемъ называть „нормальнымъ“ экземпляромъ, оказалось $k''=6.0$ и $k'=8.0$. По этимъ k' и k'' можно вычислить частное

$$\frac{J}{qk_2}$$

для любого момента t и для любого времени ϑ . *H. W. Schmidt* продѣялъ эти вычисления для $\vartheta=1, 5, 15, 30, 60, 90, 120, 150$ и ∞ минутъ и для 24 различныхъ моментовъ t , начиная отъ 0 и кончая 240 мину-тами. Результаты этихъ вычислений въ видѣ мантиссъ трехзначныхъ логариѳмовъ представлены *Schmidt*'омъ въ таблицѣ 11 на 662 стр. Ann. d. Physik, Bd. 21, 1906, въ его вышеназванной работе. Размѣры пространства разсѣятеля „нормального“ экземпляра, для котораго составлена эта таблица, слѣдующіе: диаметръ 7.2 см., высота 7.5 см., диаметръ разсѣятеля 0.5 см., высота его 4.5 см. При уменьшении пространства разсѣятеля k' остается постояннымъ, а k'' возрастаетъ, приближаясь къ k' , т. е. къ 8.0. При увеличеніи же этого пространства и k' , и k'' уменьшаются. Какъ велики эти измѣненія k' и k'' при измѣненіи пространства разсѣятеля, мнѣ неизвѣстно въ точности, но во всякомъ случаѣ они не должны быть велики.

Пусть при помощи „нормального“ экземпляра мы производимъ рядъ измѣреній тока разсѣянія J_t , вызванного тѣломъ Z , предварительно активированнымъ въ теченіе ϑ минутъ въ атмосферѣ, заключающей радиеву эманацію. Пусть концентрація эманаціи такова, что выше опредѣленная величина q имѣеть значеніе q_1 . Затѣмъ въ другой разъ пусть мы активировали наше тѣло Z въ теченіе того же самаго времени ϑ и тоже въ атмосферѣ радиевой эманаціи, но уже при другой ся концентраціи,—при такой, для которой величина q имѣеть значеніе q_2 . Затѣмъ помѣстивъ тѣло Z въ пространство разсѣятеля, производимъ рядъ измѣреній тока разсѣянія j_t и при томъ въ тѣ же самые моменты, считая за начальный моментъ—моментъ прекращенія активированія. Тогда ясно, что для всякой пары соотвѣтствующихъ моментовъ въ двухъ се-ріяхъ наблюдений величины J_t и j_t должны относится какъ q_1 и q_2 , такъ что

$$\frac{J_t}{j_t} = \text{constans}$$

или

$$\lg J_t - \lg j_t = \text{constans}.$$

Отсюда совершенно ясно, какимъ образомъ, пользуясь „нормальнымъ“ экземпляромъ электроскопа *Schmidt*'а, можно решить вопросъ, представляетъ ли радиоактивная индукція, какую можетъ дать вода и газъ изслѣдуемыхъ термъ, радиоактивную индукцію радія, или болѣе сложное явленіе, или даже совсѣмъ другое явленіе.

§ 2. Изучение наведенной активности изслѣдуемой эманации при помощи электроскопа Schmidt'a при малыхъ временахъ активированія.

У меня былъ одинъ экземпляръ электроскопа Schmidt'a отъ Sprindler'a—Hoyer'a (въ Геттингенѣ). Полная поверхность пространства разсѣятеля въ этомъ экземпляре была 253.7 см.², а объемъ 274.6 см.³. (Діаметръ 7.2 см., высота 6.85 см.; діаметръ разсѣятеля 1.15 см., высота разсѣятеля 4.2 см.), между тѣмъ какъ у нормального экземпляра соответствующія величины были 258.7 см² и 304.6 см³. Въ виду такой большой близости размѣровъ пространства разсѣятеля у моего и у нормального экземпляра вполнѣ возможно данные въ таблицѣ 11-й въ вышеуказанной работе Schmidt'a о распадѣ ради A, B и C относить и къ моему экземпляру электроскопа Schmidt'a.

Для изученія явлений наведенной активности электроскопомъ Schmidt'a очень важно знать относительное значеніе дѣленій шкалы этого инструмента. Строго говоря въ этомъ отношеніи шкала должна изучаться вновь послѣ каждой перевозки прибора. Но въ томъ режимѣ „путешествія“, въ которомъ мнѣ пришлось работать въ д. Н. Бѣлюкуриха, я счелъ возможнымъ пользоваться той градуировкой шкалы, которая была произведена мною по возвращеніи въ Томскъ, [по методу Schmidt'a, при помощи тока насыщенія, производимаго крупинкой радиевой соли, запаянной въ стеклянную трубочку (H. W. Schmidt, Ueber die Eichung und Gebrauch von Blattenelektrometern, Ph. Z., 7, 1906, р. 157)]—тѣмъ болѣе, что въ нѣкоторомъ обширномъ интервалѣ шкалы разница между результатами моей градуировки и данными таблицы, присланной мнѣ отъ Sprindler'a-Hoyer'a, была невелика, какъ это видно изъ нижеслѣдующей таблички VII.

Таблица VII.

Интервалы шкалы.	Значенія интервалла въ вольтахъ	
	по приславной таблицѣ.	по моей градуи- ровкѣ.
0.5—4.0	20.6	23.1
1.0—4.5	21.0	23.2
1.5—5.0	22.0	23.4
2.0—5.5	22.4	23.5
2.5—6.0	22.7	23.7
3.0—6.5	23.3	23.6
3.5—7.0	23.4	23.4
4.0—7.5	23.5	23.5
4.5—8.0	23.7	23.5
5.0—8.5	23.4	23.9
5.5—9.0	23.3	23.9
6.0—9.5	23.3	23.8
6.5—10.0	23.2	24.0

Изъ этой таблицы видно, что въ интерваллѣ 3.0—10.0 нѣть разницъ, превосходящихъ 3.33 %, а въ интерваллѣ 2.0—10.0 нѣть разницы, превосходящихъ 4.7 %. Вслѣдствіе того, что заряжать электроскопъ приходилось эбонитовой палочкой, невозможно было избѣжать большихъ вариаций начальныхъ потенціаловъ электроскопа, а въ такомъ случаѣ неизбѣжны хотя и небольшія, но замѣтныя вариаціи цѣны дѣленій шкалы, что могло повести къ вариаціямъ и относительныхъ значеній интервалловъ шкалы. Кромѣ того въ нѣкоторомъ интерваллѣ шкалы иногда замѣчалось явленіе, названное *Ebert'омъ* (Phys. Zeitschrift, 6, 1905, р. 642) Cri-Cri—явленіемъ: листочекъ при своемъ движеніи начинаетъ замедлять свой ходъ, чтобы затѣмъ его ускорить. Иногда все это явленіе протекало довольно медленно, а иногда такъ быстро, что въ ходѣ листочка замѣчался небольшой скачекъ.

Въ качествѣ тѣла Z мнѣ служили сами стѣнки пространства разсѣятеля. Изслѣдуемая эманація продувалась въ пространство разсѣятеля, оставалась тамъ въ теченіе ϑ времени и затѣмъ быстро выдувалась. Назову черезъ T время, протекшее отъ момента взятія изслѣдуемой воды изъ колодца до начала активированія, а въ случаѣ газовъ чрезъ T буду называть время отъ начала собиранія газа до начала активированія. Такъ какъ газъ собирался сравнительно медленно, то T въ этомъ случаѣ не могло быть менѣе $1\text{ h }24\text{ m}$ (наблюденіе 25-го іюня). Въ случаѣ же воды я могъ варьировать T начиная отъ 40 sec . Здѣсь интересно было брать T возможно меншимъ, такъ какъ такимъ образомъ можно было надѣяться уловить слѣды какой-либо быстро затухающей эманаціи, если бы таковая была въ изслѣдуемыхъ водахъ и могла бы давать явленіе радиоактивной индукціи.

Вотъ результаты первого наблюденія затуханія наведенной активности воздуха, продутаго черезъ воду изъ колодца № 1. Наблюденіе произведено 23-го іюня во дворѣ ванного зданія въ полузакрытомъ помѣщеніи. Благодаря близости къ колодцу (колодецъ находился отъ мѣста наблюденія шагахъ въ двадцати) T возможно было сдѣлать равнымъ всего 40 sec . Продолжительность активированія ϑ была равна 12 min . Всѣ стадіи этого наблюденія и вычисленія результатовъ наблюденія представлены въ нижеслѣдующей таблицѣ VIII, раздѣленной на 15 колонокъ.

Въ колонкѣ 1 указанъ № отдѣльного наблюденія, въ колонкѣ 2 указанъ отсчитанный по хронометру моментъ прохожденія нити листочка

электроскопа черезъ указанныя въ третьей колоннѣ давленія шкалы. Въ колоннѣ 4 указаны интерваллы, время прохожденія которыхъ нитью листочка указано въ колоннѣ 6, а въ пятой колоннѣ указаны значенія v этихъ интервалловъ въ вольтахъ. Въ колоннѣ 7 даны средніе моменты прохожденія нити листочка черезъ соответствующій интервалль, въ 8-й указанъ токъ полнаго разсѣянія i въ милливольтахъ на секунду при емкости электроскопа 1, въ 9-й величины $J_t = i - i_N$, где i_N есть токъ натурального разсѣянія, выраженный въ тѣхъ же единицахъ, какъ не i . Въ 10-й колоннѣ дано время, протекшее отъ момента прекращенія активированія до соответствующаго средняго момента; въ колоннѣ 11 приведены $\lg_{10} J_t$, въ 12-й соответствующіе $\lg_{10} j_t$, взятые изъ таблицы на 622 страницѣ Annalen der Physik, Bd. 21, причемъ характеристика положена равной нолю. Въ колоннѣ 13 указаны разности $\lg_{10} J_t - \lg_{10} j_t$. Въ колоннѣ 14 величины $\lg_{10} J_t$ приведены къ $\lg j_t$ при помощи средняго значенія разностей, заключающихся въ колоннѣ 13. Эти, приведенные логарифмы мы будемъ обозначать черезъ $\lg J'_t$. Въ колоннѣ 15 указаны разности $\lg J'_t - \lg j_t$.

Въ вышеуказанной таблицѣ 11 на стр. 622 Ann. d. Physik, Bd. 21 нѣть данныхъ для $\vartheta = 12^{\text{min}}$. Въ такомъ случаѣ я поступилъ слѣдующимъ образомъ. Я подыскалъ числа къ логарифмамъ, данными для $\vartheta = 5^{\text{min}}$ и $\vartheta = 15^{\text{min}}$; по этимъ числамъ интерполировалъ числа для случая $\vartheta = 12^{\text{min}}$. По логарифмамъ этихъ найденныхъ интерполяціей чиселъ и по соответствующимъ временамъ вычерчивалась кривая, при помощи которой и надены числа колонны 12. Такимъ образомъ я поступалъ всякий разъ, когда имѣть ϑ , не заключающееся въ таблицѣ Schmidt'a.

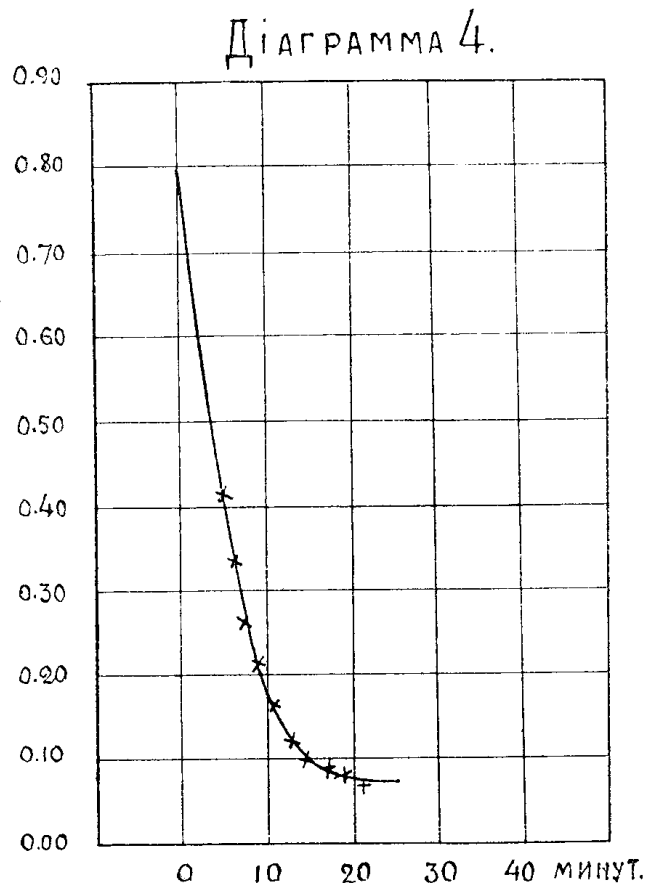
Если ошибка измѣренія величины i можетъ достигать 5%, то максимальная возможная ошибка при опредѣленіи $\lg J_t$, вычисляемая по формулѣ

$$\frac{5\%}{\lg_{10} J_t} \lg_{10} e,$$

можетъ въ настоящемъ случаѣ достигать тоже 5%. Между тѣмъ разности, указанныя въ 15 колоннѣ таблицы VIII, нигдѣ не превосходятъ 1.5% логарифма наблюденной величины J_t . Отсюда можно заключить, что числа колонны 13 оказались различающимися между собой только вслѣдствіе случайныхъ ошибокъ наблюденія, и затуханіе наблюданіемъ нами наведенной активности вполнѣ слѣдуетъ законамъ затуханія врем-

Таблица VIII.

менної активності твердыхъ тѣлъ, производимой радиевой эманацией. Это наглядно представлено на дiаграммѣ № 4, въ которой по оси абсциссъ отложены протекшія отъ момента прекращенія активированія времена въ минутахъ, а по оси ординатъ отложены $\lg j_t$ соотвѣтствующіе моментамъ 0, 2, 5, 8, 10, 12, 15, 18, 20 и 25 минутъ. По полученнымъ, такимъ образомъ, точкамъ вычерчена кривая затуханія наведенной активности эманации радия для $\delta=12$ минутъ, и затѣмъ крестиками нанесены точки $(\lg J_t', t)$, причемъ величины $\lg J_t'$ взяты изъ колонны 14 таблицы VIII. Мы видимъ, что крестики всюду расположаются по кривой.

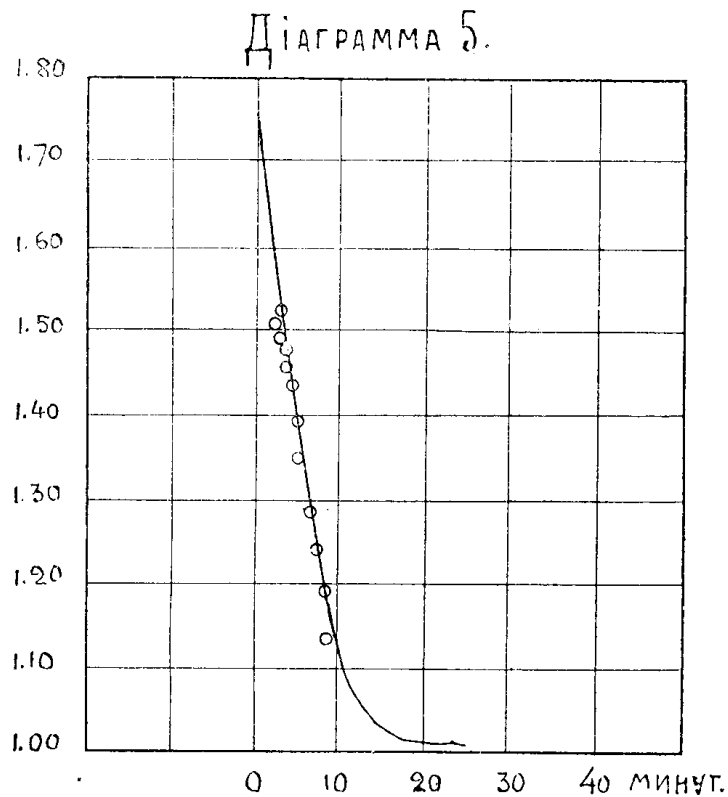


Въ нижеслѣдующей таблицѣ IX я сообщаю результаты наблюденій затуханія наведенной активности газа, собранного надъ колодцемъ № 2. Это наблюденіе произведено 25-го іюня во дворѣ винного зданія въ томъ же помѣщеніи, какъ и вышеуказанное наблюденіе 23 іюня. Въ настоящемъ случаѣ $T=1^h 24^{min}$, $\delta=10^{m} 23^{sec}$, $r_N=0.9$ милливольтъ въ секунду, при емкости, принятой за 1. Я не привожу на этотъ разъ тѣхъ свѣдѣній, какими были заполнены колонны 2—9 въ таблицѣ VIII.

Таблица IX.

№№	Время отъ конца активированія.	$\lg J_t$	$\lg j_t$	$\lg J_t - \lg j_t$	$\lg J'_t$	$\lg j_t - \lg J'_t$
1	2 ^m 21 ^{sec}	2.168	1.540	0.628	1.510	+ 0.030
2	2 ^m 39 ^{sec}	2.177	1.530	0.647	1.519	+ 0.011
3	2 ^m 59 ^{sec}	2.149	1.500	0.649	1.491	+ 0.009
4	3 ^m 21 ^{sec}	2.133	1.480	0.653	1.475	+ 0.005
5	3 ^m 46 ^{sec}	2.114	1.440	0.674	1.456	- 0.016
6	4 ^m 13 ^{sec}	2.087	1.420	0.667	1.429	- 0.009
7	4 ^m 39 ^{sec}	2.053	1.380	0.678	1.395	- 0.015
8	5 ^m 08 ^{sec}	2.002	1.380	0.673	1.344	- 0.014
9	5 ^m 42 ^{sec}	1.984	1.305	0.679	1.326	- 0.021
10	6 ^m 19 ^{sec}	1.941	1.270	0.671	1.283	- 0.013
11	7 ^m 01 ^{sec}	1.903	1.240	0.663	1.245	- 0.005
12	7 ^m 49 ^{sec}	1.845	1.200	0.645	1.187	+ 0.013
13	8 ^m 38 ^{sec}	1.796	1.165	0.631	1.138	+ 0.023
			среднее	0.658		

Какъ видно изъ этой таблицы наибольшее значеніе разности $\lg j_t - \lg J_t'$ составляетъ 1.4% соотвѣтствующаго значенія $\lg J_t$ (№ 1). Между тѣмъ максимальная возможная ошибка при опредѣленіи $\lg J_t$ будетъ 1.5%, считая, что максимальная возможная ошибка при опредѣленіи i составляетъ 5%. Отсюда слѣдуетъ, что затуханіе наблюдавшой нами наведенной активности совершенно слѣдуетъ законамъ затуханія наведенной активности эманаціи радія. Это наглядно представлено діаграммой № 5, составленной совершенно такъ же, какъ предыдущая діаграмма № 4. И здѣсь мы видимъ, что наблюденные точки (отмѣчены кружками) хорошо слѣдуютъ за кривой, представляющей затуханіе наведенной активности эманаціи радія.



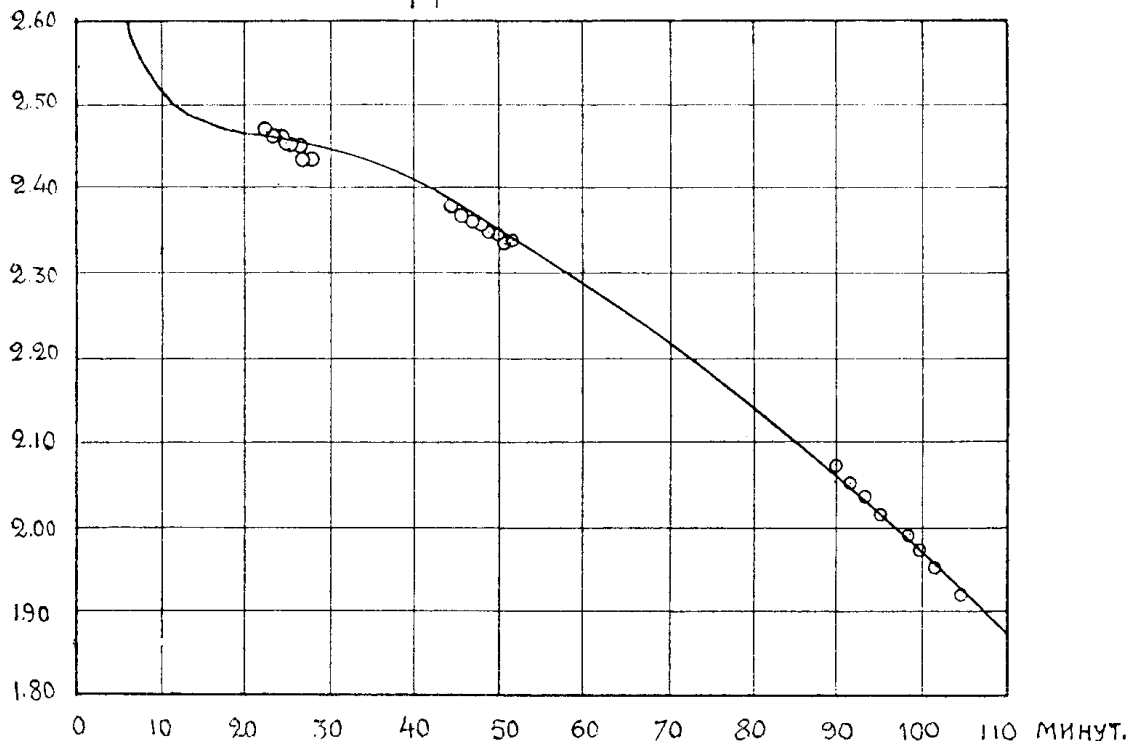
Нижеслѣдующая таблица X представляетъ результаты наблюденія наведенной активности газа, собраннаго надъ колодцемъ № 2, но при другомъ времени активированія, а именно: при $\vartheta = 30\frac{1}{4}$ минутъ, T около 2 часовъ, $i_N = 2.0$ милливольтъ въ секунду (принимая емкость электроскопа за 1.). Наблюденіе произведено 27-го іюня вечеромъ въ полу закрытомъ помѣщеніи.

Таблица X.

№№	Время . отъ конца активиро- ванія.	$\lg J_t$	$\lg j_t$	$\lg j_t - \lg J_t$	$\lg J'_t$	$\lg j_t - \lg J'_t$
1	22 ^m 48 ^{sec}	1.900	2.460	0.560	2.471	-0.011
2	23 ^m 30 ^{sec}	1.894	2.458	0.564	2.465	-0.007
3	24 ^m 13 ^{sec}	1.890	2.457	0.567	2.461	-0.004
4	24 ^m 55 ^{sec}	1.886	2.456	0.570	2.457	-0.001
5	25 ^m 37 ^{sec}	1.878	2.454	0.576	2.449	+0.005
6	26 ^m 22 ^{sec}	1.877	2.451	0.574	2.448	+0.003
7	27 ^m 07 ^{sec}	1.864	2.450	0.580	2.435	+0.015
8	27 ^m 53 ^{sec}	1.863	2.449	0.580	2.434	+0.015
9	45 ^m 12 ^{sec}	1.805	2.377	0.572	2.376	+0.001
10	46 ^m 03 ^{sec}	1.795	2.272	0.576	2.367	+0.005
11	46 ^m 57 ^{sec}	1.790	2.368	0.578	2.361	+0.007
12	47 ^m 50 ^{sec}	1.783	2.362	0.579	2.354	+0.008
13	48 ^m 46 ^{sec}	1.779	2.356	0.577	2.350	+0.006
14	49 ^m 39 ^{sec}	1.774	2.351	0.577	2.345	+0.006
15	50 ^m 33 ^{sec}	1.763	2.348	0.585	2.334	+0.014
16	51 ^m 31 ^{sec}	1.763	2.342	0.579	2.334	+0.008
17	89 ^m 39 ^{sec}	1.494	2.050	0.559	2.065	-0.015
18	91 ^m 25 ^{sec}	1.474	2.035	0.561	2.045	-0.010
19	93 ^m 19 ^{sec}	1.456	2.018	0.562	2.028	-0.010
20	95 ^m 14 ^{sec}	1.435	2.002	0.567	2.006	-0.004
21	97 ^m 13 ^{sec}	1.425	1.984	0.559	1.996	-0.012
22	99 ^m 13 ^{sec}	1.401	1.965	0.564	1.972	-0.007
23	101 ^m 30 ^{sec}	1.371	1.946	0.575	1.942	+0.004
24	103 ^m 52 ^{sec}	1.346	1.020	0.574	1.917	+0.003
				0.571		

Наибольшее значение разности $\log j_t - \log J_t'$ въ таблицѣ X составляетъ $(\text{№ } 17)$ 1% величины $\log J_t$, между тѣмъ какъ при 5% возможной ошибки въ опредѣлениі i ошибка въ $\log J_t$ можетъ достигать 2%. Слѣдовательно и изъ таблицы X надо заключить, что затуханіе наблюдавшейся нами наведенной активности вполнѣ слѣдуетъ законамъ затуханія наведенной активности эманаціи радія. Это наглядно представлено діаграммой 6, составленной совершенно такъ же, какъ діаграммы 4 и 5.

ДІАГРАММА 6.



§ 3. Изученіе наведенной активности изслѣдуемой эманаціи при помощи колокола Elster'a Geitel'я при большихъ временахъ активированія и независимо отъ градуировкіи шкалы электроскопа.

Кромѣ вышеизложенныхъ наблюдений, сдѣланныхъ электроскопомъ *Schmidt'a*, у меня имѣется еще два наблюденія затуханія наведенной активности изслѣдуемой эманаціи. Но на этотъ разъ я пользовался колоколомъ и электроскопомъ *Elster-Geitel'я*, при чёмъ въ качествѣ тѣла *Z* служила внутренняя поверхность колокола. Время δ въ одномъ случаѣ было $5\frac{1}{2}$ часовъ, а въ другомъ 7 часовъ. Благодаря большому времени активированія, большимъ порціямъ воды и газа и большой поверхности тѣла *Z*, токи разсѣянія i оказались настолько сильными, что изученіе ихъ затуханія со временемъ можно было сдѣлать независимымъ

отъ градуировки шкалы электроскопа: какъ при изученіи затуханія эманаціи, такъ и теперь наблюдалось паденіе листочка (праваго) всегда въ одномъ и томъ же интервалѣ шкалы (отъ 17 до 10 дѣленія, каковой интервалъ соотвѣтствовалъ паденію потенціала на 61.06 вольта). Не смотря на огромную разницу размѣровъ пространства разсѣятеля подъ колоколомъ (поверхность 2987 см², объемъ 8555 см³) и такового же пространства у „нормального“ электроскопа затуханіе тока разсѣянія наведенной активности подъ колоколомъ въ описываемыхъ наблюденіяхъ очень хорошо согласовалось съ данными Schmidt'овой таблицы. Слѣдуетъ замѣтить, что въ этихъ наблюденіяхъ колоколъ во время активированія былъ изолированъ и заряженъ до отрицательного потенціала 800 вольтъ (приблизительно).

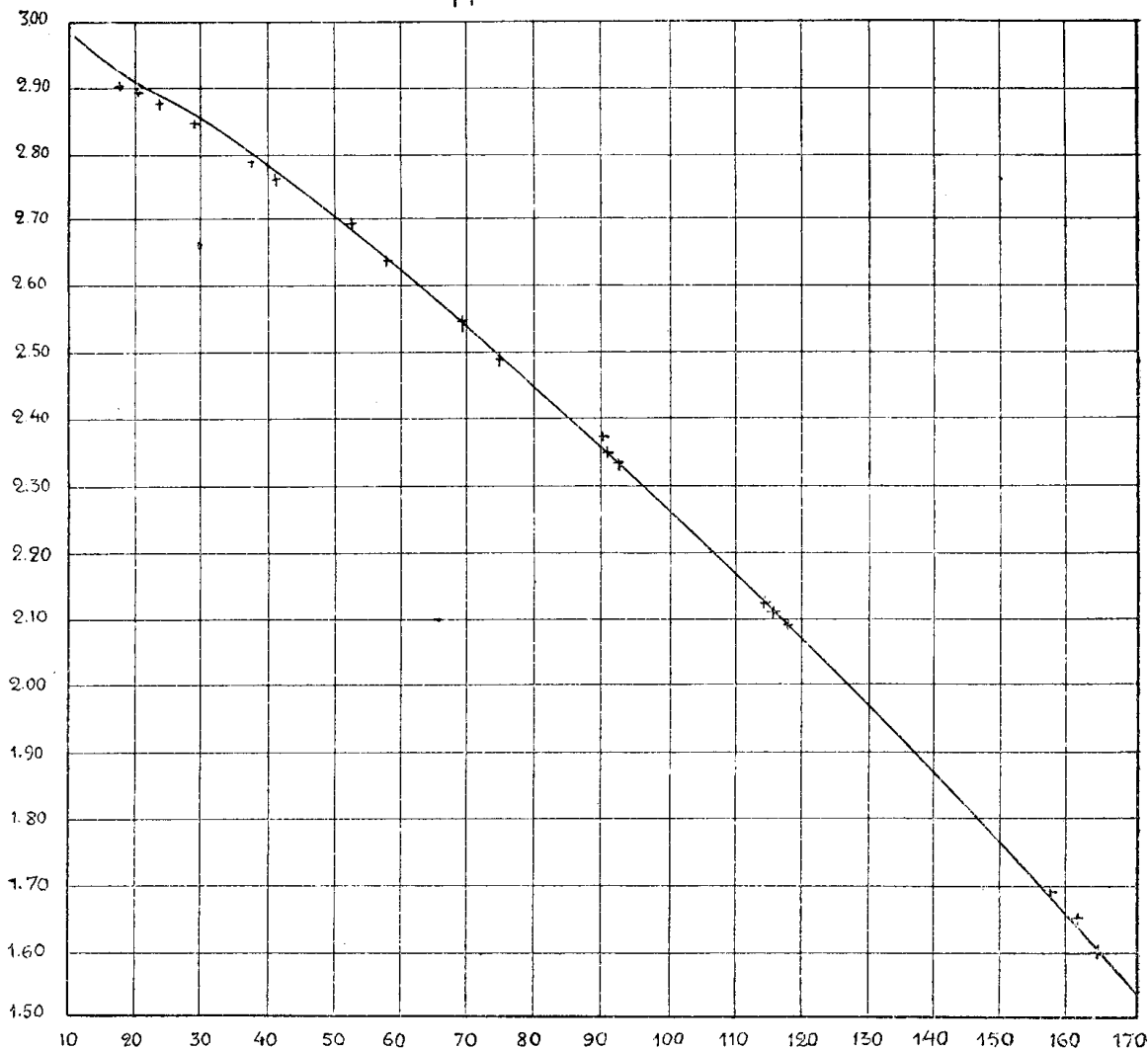
Ниже слѣдующая таблица XI представляется результаты наблюденія надъ затуханіемъ активности, наведенной при продуваніи воздуха чрезъ воду изъ колодца № 1. Наблюденіе сдѣлано 25-го юня, $T=16$ минутамъ, $\vartheta=5\frac{1}{2}$ часовъ, $i_N=4.8$ милливольтъ въ секунду при емкости 1. Величины J_t , j_t и J'_t имѣютъ тоже самое значеніе, какъ и раньше.

Таблица XI.

№№	Время отъ конца активиро- ванія.	lgJ_t	lgj_t	$lgj_t - lgJ_t$	lgJ'_t	$lgj_t - lgJ'_t$
1	17. ^m 9	2.737	2.914	0.177	2.898	+0.016
2	20. ^m 5	2.727	2.901	0.174	2.888	+0.013
3	23. ^m 5	2.714	2.885	0.171	2.875	+0.010
4	29. ^m 2	2.683	2.855	0.172	2.844	+0.011
5	37. ^m 9	2.630	2.796	0.166	2.791	+0.005
6	41. ^m 6	2.606	2.770	0.164	2.767	+0.003
7	52.7	2.529	2.685	0.156	2.690	-0.005
8	58.0	2.481	2.640	0.159	2.642	-0.002
9	69.4	2.388	2.545	0.157	2.549	-0.004
10	76.6	2.328	2.484	0.156	2.489	-0.005
11	91.6	2.191	2.344	0.153	2.352	-0.008
12	116.6	1.950	2.103	0.153	2.111	-0.008
13	163.3	1.480	1.622	0.142	1.641	-0.019
		среднее		0.161		

Максимальная возможная ошибка при определении $\lg J_t$ составляет 1.5% этой величины. Между темъ наибольшая величина разности $\lg j_t - \lg J_t'$ составляетъ лишь 1.2%. Слѣдовательно затуханіе наблюденной нами наведенной активности совершается совершенно такъ же, какъ и затуханіе наведенной активности эманаціи радія при томъ же времени активированія. Это наглядно представлено діаграммой 7: мы видимъ, что наблюденныя точки (отмѣченны крестиками) хорошо слѣдуютъ за кривой, представляющей затуханіе наведенной активности эманаціи радія.

ДІАГРАММА 7.



Нижеслѣдующая таблица ХII представляетъ результаты наблюденія надъ затуханіемъ активности, наведенной газомъ, собраннымъ надъ колодцемъ № 2. Наблюденіе сдѣлано 26-го іюня, T около 3-хъ часовъ,

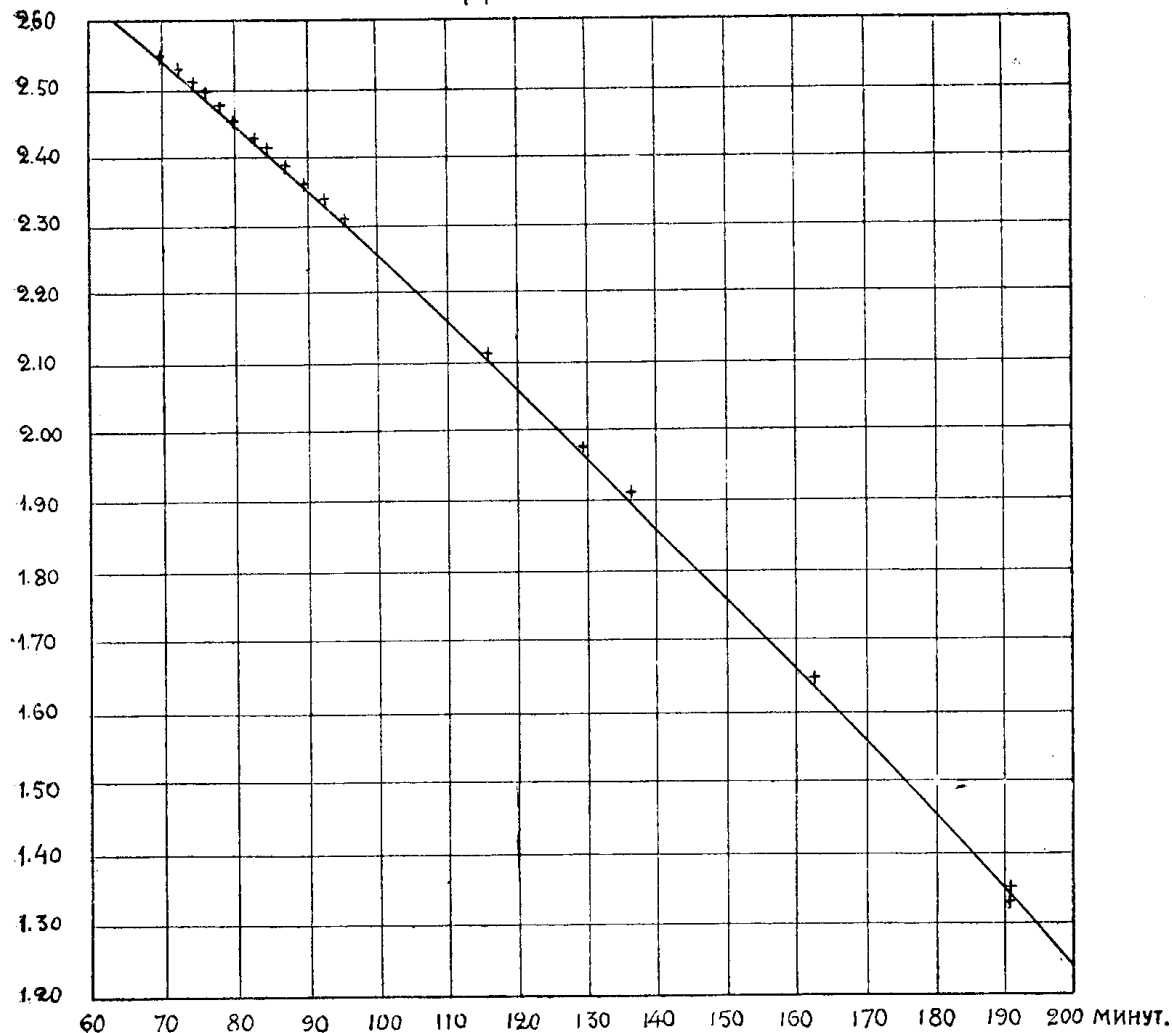
$$i_N = 9.0 \frac{\text{Millivolt} + \text{емкость}}{\text{sec}} \quad \vartheta = 7 \text{ часовъ.}$$

Таблица XII.

№№	Время отъ конца активированія.	$\lg J_t$	$\lg j_t$	$\lg J_t - \lg j_t$	$\lg J'_t$	$\lg j_t - \lg J'_t$
1	71. ^m 5	2.962	2.525	0.437	2.527	-0.002
2	73. ^m 4	2.942	2.506	0.436	2.507	-0.001
3	75. ^m 4	2.924	2.495	0.429	2.489	+0.006
4	77.7	2.903	2.472	0.431	2.468	+0.004
5	80.0	2.885	2.452	0.433	2.450	+0.002
6	82.4	2.861	2.430	0.431	2.426	+0.004
7	84.5	2.851	2.412	0.439	2.416	-0.004
8	87.0	2.823	2.390	0.433	2.388	+0.002
9	89.6	2.797	2.364	0.433	2.362	+0.002
10	92.5	2.773	2.336	0.437	2.338	-0.002
11	95.2	2.747	2.310	0.437	2.312	-0.002
12	116.2	2.545	2.109	0.436	2.110	-0.001
13	129.9	2.410	1.970	0.440	1.975	-0.005
14	136.4	2.349	1.902	0.447	1.914	-0.012
15	162.7	2.077	1.630	0.447	1.642	-0.012
16	190.3	1.760	1.339	0.421	1.325	+0.012
		среднее	0.435			

Первое внесенное въ таблицу XII измѣреніе тока разсѣянія сдѣлано лишь спустя 71.5 минутъ отъ момента прекращенія активированія, такъ какъ лишь съ этого момента токи i стали токами насыщенія. Максимальная возможная ошибка въ $\log J_t$ достигаетъ 1.2% этой величины, между тѣмъ какъ наибольшее значеніе разности $\lg j - \lg J'_t$ составляетъ лишь 0.8% величины $\lg J_t$. Слѣдовательно, и на этотъ разъ затуханіе наблюданіемъ нами наведенной активности совершается совершенно такъ же, какъ затуханіе наведенной активности эманаціи радія. Это наглядно представлено діаграммой 8; мы видимъ, что наблюденные точки (отмѣчены крестиками) хорошо слѣдуютъ за кривой, представляющей затуханіе наведенной активности эманаціи радія.

ДІАГРАММА 8.



Глава III. Измѣреніе количества эманациі, заключающейся въ изслѣдуемыхъ газахъ и водахъ.

§ 1. Методы Mache и Schmidt'a для измѣренія количества эманациї.

Пусть J_0 представляетъ величину тока разсѣянія, производимаго въ пространствѣ разсѣятеля R радиевой эманацией тотчасъ по ея введеніи въ это пространство. Конечно, J_0 есть разность $i_0 - i_N$, где i_N есть токъ натурального разсѣянія, а i_0 есть токъ полнаго разсѣянія въ тотъ же самый моментъ, къ которому относится J_0 . Пусть y обозначаетъ количество введенной эманациі. Тогда мы можемъ записать равенство

$$y = K' J_0,$$

гдѣ K' есть для данного пространства разсѣятеля величина постоянная и обозначаетъ количество эманациі, необходимое для возбужденія

въ этомъ пространствѣ тока насыщенія въ 1 единицу тока. Измѣнчивость фактора K' при измѣненіи формы и величины пространства разсѣителя R проистекаетъ отъ того, что не всѣ радіаціи, сопровождающія превращеніе эманаціи въ радій, A , поглощаются воздухомъ въ пространствѣ R , а часть ихъ поглощается стѣнками этого пространства и не имѣть никакого вліянія на образованіе тока i_0 . Эта поглощаемая часть радіацій измѣняется въ зависимости отъ измѣненія формы и величины пространства R , и поэтому одному и тому же количеству эманаціи y будуть соотвѣтствовать въ различныхъ „пространствахъ разсѣителя“ различные величины J_0 . Допустимъ, что намъ удалось устранить поглощаемость радіацій стѣнками пространства R . Въ такомъ случаѣ качествѣ мѣрила введенной въ R эманаціи мы получили бы другую величину J'_0 , большую чѣмъ J_0 . *W. Duane* показалъ, какая связь существуетъ между J_0 и J'_0 въ случаѣ, когда пространство разсѣителя имѣеть форму цилиндра. (*William Duane. Sur l'ionisation de l'air en pr  sence de l'  manation du radium, Journal de Physique, (4), t. IV, 1905, p. 605.*) Оказывается, что

$$J^o = J_0 \cdot \frac{1}{1 - 0.52} \cdot \frac{s}{s},$$

где s поверхность, а v объем пространства разъяснения. Множитель

$$\frac{1}{1-0.52} \cdot \frac{s}{r}$$

мы будемъ обозначать черезъ D . Для нашего колокола *Elster'a—Geitel'* $D=1.22$, а для нашего электроскопа *Schmidt'a* $D=1.94$. Обозначивъ черезъ K факторъ пропорціональности между J_0' и y , мы получаемъ равенство

Величина K обозначаетъ количество радиевой эманации, которую не
обходится ввести въ данное пространство K для возбужденія въ немъ
тока равнаго $1/D$ единицъ. Ясно, что при вариаціи размѣровъ простран-
ства K , если только сохраняется его цилиндрическая форма, произве-
деніе $J_0 D$ для одного и того же значенія y всегда должно оставаться по-
стояннымъ. Величина K можетъ быть приблизительно вычислена по
следующимъ даннымъ, приводимымъ *H. Mache* въ его уже цитирован-
ной статьѣ Ueber die Radioaktivitat der Gasteiner Thermen. (Wiener Be-
richte, Bd. 113, Abth. IIa, 1904, s. 1329.). Количество эманации, возбуж-
дающей токъ въ $564 \cdot 10^{-3}$ электростатическихъ единицъ, по расчету
Mache равно $12 \times 10^{-7} \text{ mm}^3$. Отсюда для K приблизительно выходитъ:

$$K = 2.13 \times 10^{-6} \frac{\text{мм}^3}{\text{эл. ст. ед тока}}$$

Во всякомъ случаѣ, если K еще и неизвѣстно достаточно точно, это есть абсолютно постоянная величина. Такимъ образомъ измѣреніе y сводится къ измѣренію J_0 въ единицахъ, независящихъ отъ метода и орудія

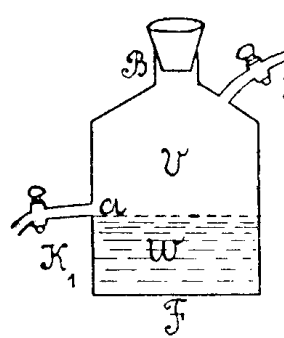
измѣренія, каковыми, напр., являются электростатическія единицы тока. Какъ извѣстно, токъ разсѣянія, производимый радиоэманаціей послѣ ея введенія въ пространство разсѣятеля начинаетъ быстро возвращаться. Его величину въ моментъ t , считая за нулевой моментъ моментъ введенія, мы обозначили черезъ J_t . Такъ какъ очень трудно непосредственно измѣрить токъ полнаго разсѣянія i_0 , то величину J_0 приходится вычислять по нѣсколькимъ величинамъ J_t . Этимъ не только обходятся трудности измѣренія i_0 , но и выигрывается точность опредѣленія J_0 . Въ теченіе небольшого промежутка времени t послѣ введенія радиоактивнаго превращенія, не успѣваетъ уменьшаться настолько, чтобы это уменьшеніе было доступно измѣренію. Въ такомъ случаѣ величину J_t можно представить такой функцией времени:

$$J_t = J_0 + Bf(t), \dots \dots \dots \quad (7)$$

гдѣ $Bf(t)$ будетъ обозначать токъ разсѣянія, производимый уже только активностью, возбужденной радиоэманаціей на стынкахъ пространства разсѣятеля. *Duane* въ вышецитированной работе нашелъ видъ функции $Bf(t)$, воспользовавшись для этой цѣли формулой, данной *P. Curie* и *Danne*'омъ для затуханія наведенной активности радиоэманаціи (С. Р. 1904, т. 138, р. 685), и введя двѣ константы, зависящія отъ размѣровъ цилиндрическаго пространства разсѣятеля. Наблюдая рядъ величинъ J_{t_1}, J_{t_2}, \dots , можно съ достаточной точностью найти и константы, и J_0 . Нѣсколько раньше появленія вышеуказанной работы *Duane*'а *H. Mache* (л. с.), исходя изъ того же соображенія, что членъ $Bf(t)$ въ равенствѣ (7) зависитъ исключительно отъ появленія наведенной активности, а іонизация, производимая эманаціей, остается постоянной, предложилъ слѣдующій графической методъ опредѣленія J_0 . Въ теченіе нѣкотораго времени послѣ введенія въ пространство разсѣятеля наблюдается, какъ и въ методѣ *Duane*'а рядъ величинъ $J_{t_1}, J_{t_2}, \dots, J_{t_n}$; затѣмъ возможно быстро послѣ опредѣленія величины J_{t_n} пространство разсѣятеля вскрывается, сильно провѣтривается, закрывается вновь, послѣ чего возможно быстро приступаютъ къ наблюденію затуханія наведенной активности. Пусть τ_0 обозначаетъ моментъ вскрытия пространства R , а $J'_{\tau_1}, J'_{\tau_2}, \dots, J'_{\tau_m}$ —рядъ токовъ разсѣянія, вызванныхъ затухающею наведеннымъ активностью. Времена $t_1, t_2, \dots, t_n, \tau_0, \sigma_1, \dots, \tau_m$ отсчитаны отъ момента введенія эманаціи въ пространство разсѣятеля. Наблюденія, произведенные до момента τ_0 , позволяютъ образовать n точекъ съ координатами (J_t, t) , а наблюденія, произведенные послѣ τ_0 , позволяютъ образовать m точекъ съ координатами (J'_τ, τ) . По первымъ n точкамъ вычерчивается кривая возрастанія токовъ разсѣянія до вскрытия колокола, а по m вторымъ точкамъ вычерчивается кривая затуханія наведенной активности. Затѣмъ та и другая кривая экстраполируются къ моменту τ_0 . Разность $J_{\tau_0} - J'_{\tau_0}$ и будетъ представлять искомое J_0 . Успѣхъ примѣненія этого метода *Mache* зависитъ отъ того, насколько

определенено выясняются кривые возрастания и затухания тока. Но самый критический момент метода — это экстраполяция кривых, так как течениe кривой между данными точками вообще еще не характеризуется течением вида этих точек, особенно в случае кривой затухания наведенной активности эманации радиа. Эта кривая, как известно, дважды меняет свой характер: быстрое падение в первые 15 минут по прекращении активированя сменяется почти постоянством ординат в течениe приблизительно 20 минут, а затем новое падение, хотя и не такое быстрое как первое. Там не мене в одном отношении метода *Mache* иметь преимущество перед методом *Duane'a*. Метод *Duane'a* применим только тогда, когда введенe эманации в пространство разселятеля совершаются настолько быстро, что момент начала этого введения без замедлительной погрешности можно считать за момент самого введения. В противном случае функция $Bf(t)$ будет совсем иная, чем указал *Duane*, а в таком случае пользование этим методом теряет свой смысл. Между тем метода *Mache* не зависит от специальных представлений о виде функции $Bf(t)$ и не теряет своего смысла и тогда, когда введенe эманации в пространство разселятеля происходит медленно, как напр., это имеет место при изучении радиоактивности водяного методу циркуляции в замкнутой ёли. Только послѣ сравнительного продолжительной циркуляции (от 20 до 30 минут) воздуха ёли через изслѣдуемую воду и мало по малу эманация вводится в пространство разселятеля, напр., подъ колоколъ *Elster'a*—*Geitel*'я. Лишь при изучении радиоактивности газовъ метод циркуляции позволяет быстро ввести изслѣдуемую эманацию подъ колоколъ. Въ этомъ случаѣ в замкнутую ёль, содержащую „пространство разселятеля“, насосъ—грушу и осушители, вводится сосудъ съ изслѣдуемымъ газомъ, который благодаря циркуляции быстро распредѣляется по всей ёли, и тамъ болѣе быстро, чмъ объемъ пространства разселятеля ближе къ объему насоса—груши, производящаго циркуляцию: два—три удара насоса, и введенe эманации в пространство разселятеля совершилось. Въ 1905 году *H. W. Schmidt* (*Phys. Zeitschr.*, 6, p. 561) показалъ, какъ и въ случаѣ водяного

введенe эманации въ пространство разселятеля произвести такъ быстро, чтобы можно было при определеніи J_0 пользоваться рациональной методом *Duane'a*. Сущность метода *Schmidt'a* состоитъ въ слѣдующемъ: въ сосудъ *F*, снабженный двумя кранами, какъ показано на рисункѣ, наливается изслѣдуемая вода такъ, чтобы ея уровень былъ ниже внутренняго отверстия *a* нижняго крана *K*₁, послѣ чего краны *K*₁ и *K*₂



и горло *B* запираются. Жидкость въ сосудѣ подвергается сильному встряхиванию. Вслѣдствіе встряхивания уже черезъ $\frac{1}{2}$ минуты устанавливается равновѣсие въ распределеніи эманации между воздухомъ, занимающимъ

объемъ V , и водой, занимающей объемъ W . Такимъ образомъ надъ водой получается содержащей эманацію газъ въ количествѣ $V\text{cm}^3$. Этотъ газъ при помощи крановъ K_1 и K_2 вводится въ одну цѣпь съ пространствомъ разсѣятеля и насосомъ—грушей. Такимъ образомъ въ методѣ *Schmidt'a* изслѣдуемая вода остается виѣ цѣпи, въ которой происходитъ циркуляція воздуха. Благодаря этому оказалось возможнымъ совершенно устранить изъ цѣпи осушители и трубку съ водой: предварительные опыты *Schmidt'a* показали, что несмотря на продолжительное и сильное встряхивание сосуда A съ дистиллированной водой послѣдующее продуваніе воздуха изъ V въ пространство разсѣятеля не вызывало тамъ никакого замѣтнаго увеличенія тока натурального разсѣянія, следовательно не возникало ни порчи изоляціи, ни какой либо іонизаціи.

Schmidt производилъ эти опыты и съ теплой водой, температура которой доходила до 50°C , и результаты были тѣ же. Но *Schmidt* не дѣлалъ опытовъ съ водными растворами солей и съ водой, въ которой, болѣе чѣмъ обыкновенно, растворены газы, какъ это имѣетъ мѣсто во многихъ случаяхъ почвенныхъ и ювелирныхъ водъ. Между тѣмъ можно думать, что освобождающіеся при взбалтываніи газы окажутся іонизованными, какъ оказываются іонизоваными газы, выдѣляющіеся при электролизѣ кислотъ и щелочей (*Towsend, Phil. Mag.*, (5), 45, 125 и 149, 1898), и при иѣкоторыхъ химическихъ реакціяхъ (*Bloch, Recherches sur la conductibilité électrique de l'air produite par le phosphore et sur les gaz récemment préparés, Annales de chimie et de physique*, (8), t. 4, 1905, p. 25).

Подобная испотеза была высказана проф. *A. П. Соколовымъ* въ его уже неоднократно выше цитированной работѣ „Радіоактивность иѣкоторыхъ русскихъ минеральныхъ водъ, грязей и почвъ“ по поводу, газовъ, выдѣляющихся изъ жидкой углекислоты при пониженіи давленія.

Если при этомъ рождаются іоны, аналогичные іонамъ—пылинкамъ *Bloch'a*, то, конечно, они сдва ли уничтожаются и тогда, когда въ цѣпь будутъ введены осушители и вата, и, значитъ, неизбѣжно повысить оцѣнку содержанія радиоактивной эманаціи въ изслѣдуемой водѣ. Но возможно, что существуютъ іоны со свойствами, такъ сказать промежуточными между іонами *Bloch'a* и обыкновенными быстро рекомбинирующими іонами. Въ такомъ случаѣ устроеніе изъ цѣпи осушителей и ваты можетъ вызвать въ цѣпи іонизацію, которая можетъ симулировать затуханіе торевої эманаціи, и болѣе или менѣе сильно затемнять соответствующее радиевої эманаціи возрастаніе величинъ J_t въ первые 2—3 часа послѣ введенія эманаціи въ пространство разсѣятеля. Возможность возникновенія этой „паразитной“, по выражению проф. *A. П. Соколова*, іонизаціи, происходящей отъ причинъ, ничего общаго съ радиоактивностью не имѣющихъ, надо имѣть въ виду каждый разъ, когда желаютъ установить радиоактивность какой-либо воды по методу іонизаціи тѣсно соприкасающейся съ водой воздуха, или когда желаютъ установить природу несомнѣнно существующей радиоактивной эманаціи

только по измѣненіямъ величинъ J_t въ первое время по введенію эманаціи въ пространство разсѣятеля, или когда желаютъ оцѣнить количество заключающейся въ испытуемой водѣ эманаціи, природа которой уже извѣстна.

Во всякомъ случаѣ цѣль, которую поставилъ себѣ Schmidt: сдѣлать введеніе эманаціи въ пространство разсѣятеля возможно быстрѣе, такъ, чтобы затраченное на эту операцию время безъ чувствительной погрѣшности можно было принять за одинъ моментъ,—достигнута и тѣмъ болѣе, что насосъ—груша можно взять приблизительно такихъ же размѣровъ, какъ пространство разсѣятеля, а объемъ V можно сдѣлать значительно больше, чѣмъ это пространство R . Такимъ образомъ становится возможнымъ опредѣлять J_0 раціонально, вычисляя его изъ J_t , пользуясь зависимостью, указанной Duane'омъ. Этой же цѣли H. W. Schmidt достигъ, исходя изъ равенствъ (3), (4) и (5), представляющихъ теченіе радиоактивнаго процесса въ RaA, RaB и RaC, и при помощи константъ k'' и k' , указанныхъ на стр. 22, Schmidt вычислилъ для „нормальнаго“ экземпляра своего электроскопа отношенія J_0/J_t для моментовъ времени $0, \frac{1}{2}, 1, 1\frac{1}{2}, 2, 3$ и т. д. до 15 минутъ, считая за нулевой моментъ моментъ введенія эманаціи въ пространство разсѣятеля. Результаты этихъ вычисленій Schmidt'a содержатся въ таблицѣ III его статьи Über eine einfache Methode zur Messung des Emanationsgehalts von Flüssigkeiten въ Phys. Zeitsch., 6, 1905, p. 561. Мы будемъ называть заключающейся въ этой таблицѣ величины J_0/J_t множителями Schmidt'a.

§ 2. Измѣреніе величины $\frac{x}{k}$ для газовъ по методу Mache и Duane'a — Schmidt'a.

Для измѣренія количества эманаціи въ газѣ, собранномъ надъ колодцемъ № 2, составлялась земкнутая цѣль изъ пространства разсѣятеля, объемъ какового пространства мы обозначимъ черезъ R , изъ насоса—груши, изъ резервуара, въ которомъ заключается испытуемый газъ при атмосферномъ давленіи, изъ системы осушителей и, снова пространство разсѣянія. Объемъ, взятый для истыганія порціи газа обозначимъ черезъ V , а объемъ насоса вмѣстѣ съ осушителями и соединительными трубками черезъ V' . Такимъ образомъ объемъ всей цѣли будетъ $V + V' + R$. Для краткости обозначимъ эту сумму черезъ U . Пусть количество эманаціи въ литрѣ испытуемаго газа при атмосферномъ давленіи и при средней температурѣ наблюдений будетъ обозначено черезъ x , а y , какъ и выше, обозначаетъ количество эманаціи, введенной послѣ циркуляціи въ пространство разсѣятеля. Тогда количество эманаціи, введенной гдѣ цѣль, представляется черезъ $\frac{xV}{1000}$, а для y мы имѣемъ равенство

$$y = x \cdot \frac{V}{1000} - \frac{R}{U}$$

откуда, подставляя вмѣсто y его значеніе изъ равенства (6), получимъ

$$x = K \cdot D \cdot J_0 \cdot \frac{1000}{V} \cdot \frac{U}{R}.$$

При этомъ предполагается, что U , V , V' и R выражены въ см³, а x и y въ см³.

J_0 было опредѣлено дважды по методу *Mache* и трижды по методу *Duane'a-Schmidt'a*. Въ первомъ случаѣ я пользовался колоколомъ *Elster'a-Geitel'я*, а во второмъ электроскопомъ *Schmidt'a*. Чтобы измѣрить J_0 въ электростатическихъ единицахъ *C. G. S.* необходимо знать емкости при-мѣняемыхъ электроскоповъ и градуировать ихъ шкалы. Какъ произведена градуировка шкалы электроскопа *Schmidt'a*, обѣ этомъ уже сообщено (ст. 23). Градуировка же шкалы электроскопа *Elster'a-Geitel'я* была произведена слѣдующимъ образомъ. Подъ колоколь вводился собранный надъ колодцемъ № 2 газъ, и послѣ того, какъ эманація пришла въ радиоактивное равновѣсіе съ продуктами ея распада, и токи разсѣянія стали насыщенными, въ теченіе болынго промежутка времени (около 5 дней) опредѣлялись отношенія временъ прохожденія листочкомъ различныхъ интерваловъ шкалы. Изъ такихъ (очень многочисленныхъ) наблюдений были установлены относительныя значенія интерваловъ шкалы. Для абсолютной ихъ оцѣнки оставалось опредѣлить значеніе въ вольтахъ какого-либо одного интервала. Таковъ бытъ интервалъ между 13 и 10 дѣленіями шкалы. По сравненію изслѣдуемаго электроскопа съ электроскопомъ такого же типа, но еще никогда не бывшемъ въ употребленіи, этотъ интервалъ оцѣненъ въ 27.1 вольтъ. То же значеніе этого интервала было получено и по возвращеніи въ Томскъ при помощи батареи малыхъ аккумуляторовъ. Что касается емкости электроскоповъ, то, по сравненіи ихъ съ конденсаторомъ *Harms'a*, они оказались совершенно такими же, какія были указаны изготовленными эти электроскопы фирмами: 12.5 см. для электроскопа подъ колоколомъ *Elster'a-Geitel'я* и 6.1 см. для электроскопа *Schmidt'a*. Нижеслѣдующая таблица XIII представляетъ данныя, относящіяся къ двумъ измѣреніямъ величины J_0 и $\frac{x}{k}$ по методу *Mache*. Величины t_1 , t_n , τ_0 , τ_1 , τ_{∞} , n , m , J_{τ_0} , J'_{τ_0} , J_0 , K , x и V имѣютъ тоже самое значеніе, которое имъ приписано выше въ настоящемъ и предыдущемъ параграфахъ; при чмъ J_{τ_0} , J'_{τ_0} и J_0 въ колоннахъ 9, 10 и 11 въ милливольтахъ на секунду при емкости электроскопа 1, но при вычислении величины x/K (колонна 13) J_0 выражено уже въ электростатическихъ единицахъ тока, для чего числа колонны 11 умножены на 12,5 (емкость электроскопа въ см.) и разделены на 300×1000 .

Таблица XIII.

42

Dama	t_1	t_n	n	τ_0	τ_1	τ_m	m	J_{τ_1}	J'_{τ_0}	J_s	V_{cm}^3	$\frac{x}{k} \text{ эл.-ст. ед.}$
23.VI.08	$8^{m}23^s$	$12^{m}03^s$	8	$12^{m}30^s$	$19^{m}07^s$	$44^{m}38^s$	14	5593	1135	4460	4832	$77.3+10^{-3}$
24.IV.08	$6^{m}09^s$	$15^{m}16^s$	11	$15^{m}23^s$	$21^{m}49^s$	$43^{m}04^s$	8	5539	1237	4302	4592	$77.0+10^{-3}$

Таблица XIV.

Dama.	Количество на- введенного въ цѣль таза. Число глюденныхъ блюденокъ.	J_0 въ милли- вольта секун- дахъ при ем- кости 1.	$\frac{x}{k}$ эл.-ст. единицъ.	Сколько времени прошло отъ введе- ния эманации до наблюдения J_{t_1} .	Сколько времени про- должалось наблю- дение величинъ J_{t_1} .	Сколько времени про- наця оставалась въ пространствѣ разсѣяния.
25.VI.08	1700 ст^3	11	$445.0+1.5$	$(81.8+0.3) \times 10^{-3}$	$2^{m}58^{sec}$	$1^{m}25^{sec}$
27.VI.08	1700 ст^3	8	$422.4+1.1$	$(77.8+0.2) \times 10^{-3}$	$4^{m}56^{sec}$	$1^{m}17.5^{sec}$
1.VII.08	138 ст^3	11	$123.2+1.3$	$(79.1+0.8) \times 10^{-3}$	$0^{m}55^{sec}$	$5^{m}07.5^{sec}$
						$6^{m}02.5^{sec}$

Вышеприведенная таблица XIV предstawляетъ данныя, относящіяся къ тремъ измѣреніямъ величинъ J_0 и x/K по методу Duane'a-Schmidt'a, а таблица XV предstawляетъ всѣ стадіи измѣреній и вычисленій величины J_0 для 27. VI. 08. Таблица составлена совершенно такъ, какъ это указано Schmidt'омъ (Phys. Zeitschr., 7, 1906, p. 209). Я привожу ее здѣсь для удобства моего дальнѣйшаго изложенія. Таблица раздѣляется на 12 колоннъ. Колонна 2 содержитъ отсчитанные по хронометру моменты прохожденія нити листочка透过 d'Ylenia шкалы, указанныя въ колоннѣ 3. Въ колоннѣ 4 указаны тѣ интервалы шкалы, время прохожденія которыхъ нитью листка сообщено въ колоннѣ 6. Въ колоннѣ 5 даны значенія интерваловъ въ вольтахъ, а въ 7-ой средній моментъ прохожденія нити черезъ эти интервалы. 8-ая колонна содержитъ величины i_t въ милливольтахъ на секунду, 9-ая—величины $J_t = i_t - i_N$, 10-ая—моменты t , отсчитанные отъ момента введенія эманаціи въ пространство разсѣятеля; 11—соответствующіе этимъ моментамъ множители Schmidt'a J_0/J_t , а 12—произведенія найденныхъ J_t на соответствующіе множители Schmidt'a, т. е. J_0 . Понятно, что при отсутствіи ошибокъ наблюденія всѣ числа колонны 12 должны быть одинаковы. Изъ найденныхъ чиселъ колонны 12 взято среднее (422.4 ± 1.1), которое и внесено въ 4-ую колонну таблицы XIV.

Таблица XV.

№	2	3	4	5	6	7	8	9	10	11	12
	4 ^h 02 ^m 41. ^s 0	3.0	3.0—6.5	23.6	30. ^s 0	4 ^h 03 ^m 00. ^s 5	605.1	603.1	5 ^m 15. ^s 5	0.699	421.5
	46.5	3.5	3.5—7.0	23.4	39. ^s 0	06. ^s 0	600.0	598.0	5 ^m 21. ^s 0	0.697	415.4
	52.0	4.0	4.0—7.5	23.5	39. ^s 0	11. ^s 5	602.6	600.0	5 ^m 26. ^s 5	0.696	417.6
	57.5	4.5	4.5—8.0	23.5	38. ^s 5	16. ^s 7	610.4	608.4	5 ^m 31. ^s 7	0.694	422.2
	10 ^m 03. ^s 0	5.0	5.0—8.5	23.9	38. ^s 5	22. ^s 2	620.8	618.8	5 ^m 37. ^s 2	0.693	428.7
	08. ^s 5	5.5	5.5—9.0	23.9	39.0	28. ^s 0	612.8	610.8	5 ^m 43. ^s 0	0.691	422.0
	14. ^s 5	6.0	6.0—9.5	23.8	38.5	33. ^s 7	618.2	616.2	5 ^m 48. ^s 7	0.689	424.5
	20. ^s 0	6.5	6.5—10.0	24.0	38.5	39. ^s 2	623.4	621.4	5 ^m 54. ^s 2	0.688	427.5
	25. ^s 5	7.0									
	31. ^s 0	7.5									
	36. ^s 0	8.0									
	41. ^s 5	8.5									
	47. ^s 5	9.0									
	53. ^s 0	9.5									
	58. ^s 5	10.0									
											Среднее 422.4 ± 1.1

Если изъ всѣхъ найденныхъ нами пяти значеніяхъ величины $\frac{x}{K}$ (двѣ изъ таблицы XIII и три изъ таблицы XIV) взять среднее, то мы получаемъ 78.6×10^{-3} эл.—ст. ед. Наибольшее отклоненіе отъ этого средняго вычисленія $\frac{x}{K}$ составляетъ лишь 4%. Если принять во вниманіе, что величины $\frac{x}{K}$ измѣрялись и совершенно различными методами, и совершиенно различными инструментами, и при совершенно различныхъ условіяхъ наблюденія [при наблюденіи съ колоколомъ *Elster'a-Geitel'* въ цѣль вводилось около 4.5 литровъ газа, а при наблюденіяхъ съ электроскопомъ *Schmidt'a* 1.7 и 0.138 литра; въ первомъ случаѣ опытъ продолжался около 45 min, а во второмъ около 6 min; въ первомъ случаѣ наблюдалось паденіе потенціала въ 62 вольта, а во второмъ 17—20 вольтъ и т. д.], то согласіе полученныхъ результатовъ измѣренія слѣдуетъ отмѣтить, и особенно въ виду сообщенія, сдѣланнаго на 41 общемъ собраниіи Американскаго Общества въ Бостонѣ (28—31 декабря 1909 года) *Merle'емъ Randall'емъ*. [Реферировано въ *Chemiker Zeitung*, № 34, 1910]. Этотъ ученый желалъ при помощи тока разсѣянія измѣрить количество радіевой эманаціи, которое приходится на 1 gr урана въ урановой соли, полученьй изъ *Pechblende*. Для этой цѣли онъ пользовался различными методами измѣренія и различными электроскопами. Оказалось, что полученные при этомъ токи разсѣянія, которые можно было бы считать мѣрой вышеуказанного количества эманаціи, сильно варьировали какъ въ зависимости отъ метода примѣненнаго электроскопа (обыкновенно каждому типу выпускаемыхъ въ продажу электроскоповъ соотвѣтствуетъ лишь одна метода измѣренія), такъ и отъ полнаго количества соли, которая при раствореніи освобождается радиевую эманацію. Въ зависимости отъ метода и примѣненнаго электроскопа эти варьiacіи заключались между 2.36×10^{-12} амп. (708.7×10^{-3} электр.-ст. ед.) для электроскопа *Boltwood'a* и 4.80×10^{-12} амп. (1441.5×10^{-3} эл.—ст. ед.) электроскопа *Schmidt'a*. Отсюда *Randall* выводить заключеніе, что „предположеніе многихъ европейскихъ ученыхъ“, будто бы результатъ измѣренія количества радіевой эманаціи токомъ разсѣянія не будутъ зависѣть отъ примѣненнаго метода и электроскопа, если токъ разсѣянія выражать въ амперахъ или электростатическихъ единицахъ тока,—неправильно. Съ такимъ заключеніемъ совершенно не гармонируютъ вышеизложенные результаты измѣренія величинъ x/K . Та небольшая разница, которая получена между пятью найденными значениями величины x/K , отнюдь не можетъ быть приписана ни большой разницѣ примѣненныхъ для измѣренія инструментовъ, ни большой разницѣ методовъ измѣренія величины J_0 , ни большой разницѣ введенныхъ въ цѣль количествъ эманаціи, такъ какъ въ таблицѣ XIV имѣется такое значение x/K (27. VI), которое отличается отъ результата наблюденія 23. VI лишь на 0.6%. Тѣмъ не менѣе коле-

банія въ значеніяхъ величины $\frac{x}{K}$ въ таблицѣ XIV' нельзя приписать случайнымъ ошибкамъ наблюденія. Въ такомъ случаѣ надо признать, что либо количество эманаці, приходящееся на одинъ літръ изслѣдуемаго газа, въ разные дни наблюденія было различно;—либо число іоновъ, имѣвшихъ мѣсто въ пространствѣ разсѣятеля, могло быть больше, чѣмъ это соотвѣтствовало введенной эманаці, и такимъ образомъ имѣло мѣсто явленіе „паразитной“ іонизаці, при чемъ величина этой „паразитной“ іонизаці могла быть то больше, то меныше, и вообще должна уменьшаться со временемъ до полнаго уничтоженія. Такъ какъ въ измѣреніяхъ съ колоколомъ Elster'a-Geitel'я въ цѣль были введены осушители и трубка съ ватой, то можно думать, что паразитной іонизаціи въ этомъ случаѣ совсѣмъ не было. Она могла здѣсь исчезнуть еще и по той причинѣ, что къ наблюденіямъ величинъ J_t было приступлено лишь черезъ 8—9 минутъ послѣ введенія эманаціи подъ колоколь. Такъ какъ въ цѣль съ электроскопомъ Schmidt'a осушители и вата введены не были, и наблюденія величинъ J_t начаты гораздо ранѣе (самое бѣльшее черезъ 4 m 56 sec. послѣ введенія эманаціи), то согласно съ вышеизложенной гипотезой о „паразитной“ іонизаціи надо ожидать, что результаты измѣреній, сдѣланныхъ съ колоколомъ Elster'a-Geitel'я. Что это такъ и есть, показываетъ таблица XIV. Точно такъ же вышеизложенная гипотеза объясняетъ, почему результатъ наблюденія 27.VI гораздо ближе къ числу 77, чѣмъ результатъ наблюденія 25.VI: вѣдь 27.VI измѣренія величины J_t были начаты лишь черезъ 4 m 56 sec послѣ введенія эманаціи, въ то время какъ 25.VI. эти измѣренія были начаты спустя только 2 m 58 sec, вслѣдствіе чего „паразитная“ іонизаціи должна сильно сказаться въ наблюденіи 25.VI. Но какъ же объяснить, что результатъ наблюденія 1.VII ближе къ 77,—чѣмъ результатъ наблюденія 25.VI? Вѣдь 1.VII измѣреніе величинъ J_t начато только черезъ 55 sec послѣ введенія эманаціи. Но на этотъ разъ наблюденіе продолжалось значительно дольше, чѣмъ ранѣе, а именно 5 m 07.5 sec, тогда какъ ранѣе около 1 m 20 sec. За 5 m 07.5 sec паразитная іонизаціи, въ началѣ большая, могла затухнуть. Что это было дѣйствительно такъ, мы убѣждаемся разсматривая тѣ 11 значеній J_o , изъ которыхъ какъ среднее получено число 123.3. Таблица XVI предсталяетъ намъ для каждого изъ трехъ наблюденій, сдѣланныхъ по методу Schmidt'a, тѣ свѣдѣнія, которыя для наблюденія 27.VI заключаются въ колоннахъ 10 и 12 таблицы XV. Въ колоннахъ 3, 6 и 9 таблицы XVI даны разности между среднимъ значеніемъ J_o и соотвѣтствующими значеніями J_o , вычисленными изъ J_t при различныхъ временахъ t .

Таблица XVI.

25.VI.			27.VI.			1.VII.		
1 Моменты отъ нача- ла акти- вированія	2 J_0	3 ΔJ_0	4 Моменты отъ нача- ла акти- вированія	5 J_0	6 ΔJ_0	7 Моменты отъ нача- ла акти- вированія	8 J_0	9 ΔJ_0
2. ^m 85	455	+ 10	5 ^m 15. ^s 5	421.5	- 0.9	1 ^m 48 ^s	130.5	+ 7.3
2. ^m 97	453	+ 8	5 ^m 21. ^s 5	415.4	- 7.0	2 ^m 08 ^s	126.7	+ 4.5
3. ^m 07	444	- 1	5 ^m 26. ^s 5	417.6	- 4.8	2 ^m 29 ^s	124.8	+ 1.6
3. ^m 15	445	0	5 ^m 31. ^s 7	422.2	- 0.2	2 ^m 50 ^s	125.5	+ 2.3
3. ^m 25	451	+ 6	5 ^m 37. ^s 2	428.7	+ 6.3	3 ^m 11 ^s	126.5	+ 3.3
3. ^m 34	456	+ 11	5 ^m 43. ^s 0	422.0	- 0.4	3 ^m 31 ^s	124.0	+ 0.8
3. ^m 44	439	- 6	5 ^m 48. ^s 0	424.5	+ 2.1	3 ^m 52 ^s	122.7	- 0.5
3. ^m 54	438	- 7	5 ^m 54. ^s 0	427.5	+ 5.1	4 ^m 12 ^s	120.5	- 2.7
3. ^m 63	443	- 2		422.4		4 ^m 32 ^s	117.4	- 5.8
3. ^m 72	434	- 11				4 ^m 52 ^s	118.9	- 4.3
3. ^m 81	440	- 5				5 ^m 12 ^s	117.9	- 5.3
	445						133.2	

Разсматривая эту таблицу, видимъ, что характеръ измѣненія чисель J_0 въ колоннѣ 8 совсѣмъ не тотъ, какъ у чисель въ колоннахъ 2 и 5; въ колоннѣ 8 ясно выражено одностороннее измѣненіе величинъ J_0 , именно ихъ убываніе. Наблюденіе 1.VII окончено черезъ 5 съ небольшимъ минутъ послѣ введенія эманаціи, приблизительно въ то время, когда наблюденіе 27.VI начато. Въ этомъ послѣднемъ наблюденіи систематического уменьшенія величинъ J_0 уже не замѣтно. Оно должно бы быть еще замѣчено въ наблюденіи 25.VI. Если изъ колонны 8 взять только первыя пять значеній J_0 , то среднее будетъ 126.8, ссответственно которому для x/K получаемъ 81.4×10^{-3} ; а если взять пять послѣдніихъ значеній J_0 , то среднее будетъ 119.5; и для x/K имѣемъ 76.7×10^{-3} . Итакъ всѣ данные таблицы XVI вполнѣ согласуются съ гипотезой о „паразитной“ іонизаціи, исчезающей черезъ 5—6 минутъ послѣ введенія изслѣдуемаго газа въ пространство разсѣятеля. Надо еще замѣтить, что во всѣхъ пяти случаяхъ измѣненія x/K газъ вводился въ простран-

ство разсѣятеля приблизительно черезъ одно и то же время послѣ начала его собранія, въ среднемъ черезъ 1 h 20 m.

Такъ какъ въ литературѣ встрѣчались указанія, подтверждающія мнѣніе Эберта, что послѣ уменьшенія барометрическаго давленія выдѣленіе радиоактивныхъ эманацій изъ земной коры становится болѣе обильнымъ [напр., *J. Jaufmann*, Meteorologische Zeitschrift, 1905, р. 102], то я производилъ за все время работы въ деревнѣ Новая Бѣлокуриха отсчеты по анероиду въ 8 часовъ утра, 1 часъ дня и 9 ч. вечера. За время 22.VI—2.VII замѣчались медленныя колебанія барометра въ предѣлахъ 29.25—28.91 англійскихъ дюймовъ. Наблюдаемыя мною колебанія величины x/K ни въ какую связь съ вышеуказанными колебаніями барометрическаго давленія поставлены быть не могутъ.

§ 3. Измѣреніе величины x/K для изслѣдуемой воды по методу *Mache*.

Теперь мы переходимъ къ описанію измѣрений количества радиевой эманаціи, заключающейся въ 1 літрѣ воды изъ колодцевъ № 1 и № 2, по методу *Mache*. Пусть w обозначаетъ въ см³ количество вводимой въ цѣпь испытуемой воды, а U, R, x, y имѣютъ, mutatis mutandis, то значеніе, которое имѣетъ приписано въ предыдущихъ параграфахъ. Количество эманаціи, которое мы вводили съ водой въ нашу цѣпь, есть

$$\frac{xw}{1000}.$$

Когда (послѣ циркуляціи) въ распределеніи эманаціи между воздухомъ и водой установится равновѣсіе, то въ w см³ воды будетъ заключаться столько же эманаціи, сколько ея заключается въ $\alpha \cdot w$ см³ воздуха, гдѣ α обозначаетъ такъ называемой коэффиціентъ абсорбціи радиевой эманаціи въ водѣ. Отсюда для плотности эманаціи въ воздухѣ цѣпи мы получаемъ выражение

$$\frac{xw}{1000} : U - (1 - \alpha) w,$$

для y равенство

$$y = x \cdot \frac{w}{1000} \cdot \frac{R}{U - (1 - \alpha) w},$$

а для x

$$x = K \cdot D \cdot J_0 \cdot \frac{1000}{w} \cdot \frac{U - (1 - \alpha) w}{R}.$$

Такъ какъ изслѣдуемая вода содержитъ весьма мало растворимыхъ солей, то для α въ нашемъ случаѣ можно принять ту же величину какъ и для дистиллированной воды. *R. Hoffmann*, какъ сообщается *M. Kofler* (Phys. Z., 9, 1908., р. 6), нашелъ для дистиллированной воды при 20°C, для α величину 0.28, а *M. Kofler* величину 0.27. При 40° по

R. Hoffmann'у для α мы имъемъ уже значение 0.16. Такъ какъ наша вода во время циркуляціи имѣла температуру около 25° С, то мы примемъ для нея α равнымъ 0.25. Здѣсь кстати замѣтить, что при тѣхъ значеніяхъ U и w , которыя имѣли мѣсто въ нашихъ измѣреніяхъ, даже значительная ошибка въ опредѣленіи x , напр., еслибы для α вмѣсто $\frac{1}{4}$ мы взяли $\frac{1}{3}$,—могла измѣнить результатъ измѣренія не болѣе какъ на 1.1%.

Нижеслѣдующая таблица XVII представляетъ данныя, относящіяся къ измѣненіямъ величинъ J^o и x/K по методу *Mache*. Рубрика T содержитъ время, протекшее отъ момента взятія воды изъ колодцевъ до начала циркуляціи. Всѣ остальные рубрики имѣютъ то же самое значеніе, какъ соответствующія рубрики таблицы XIII, за исключеніемъ одной, которой не было въ таблицѣ XIII и значеніе которой указано въ самой таблицѣ XVII. Во всѣхъ измѣреніяхъ величина U была одна и та же и равнялась 13956 см³.

Таблица XVII.

§ 4. Измѣреніе величины x/K для воды изъ колодца № 1 по методу Schmidt'a. Принимая во вниманіе то описание методы Schmidt'a, какое дано въ § 1 настоящей главѣ, мы найдемъ, что количество вводимой въ цѣль эманаціи будетъ представлено черезъ

$$\frac{w}{1000} \cdot \frac{xV}{V + aw},$$

гдѣ w , x , α имѣютъ то же значеніе, какъ и выше, а V обозначаетъ, согласно § 1, объемъ воздуха надъ водой въ сосудѣ F . Въ такомъ случаѣ для y и x мы получимъ такія равенства:

$$y = \frac{w}{1000} \cdot \frac{xV}{V + \alpha V'} \cdot \frac{R}{V + V' + R},$$

$$x = KDJ_0 \cdot \frac{1000}{w} \cdot \frac{V + V' + R}{R} \left(1 + \alpha \cdot \frac{w}{V} \right),$$

гдѣ V' и R имѣютъ то же значеніе, какъ и въ § 2.

Въ случаѣ описываемыхъ измѣреній $R=274,5$ см³, $V'=204,1$ см³ и $w+V=1700$ см³ (объемъ сосуда F). Нижеслѣдующая таблица XVIII представляетъ данныя, относящіяся по всѣмъ произведеніямъ мною измѣреніямъ величины x/K по методу Schmidt'a для воды изъ колодца № 1, при чмѣ T имѣть то же значеніе, какъ и въ таблицѣ XVII.

Разсматривая таблицу XVIII, мы видимъ, что 23.VI, 8.VII и 12.VII получены для x/K такія же значенія, какъ и по методу Mache съ колоколомъ Elster-Geitel'я. Но въ то время какъ въ таблицѣ XVII всѣ 7 значеній x/K очень согласны между собой, въ таблицѣ XVIII этого согласія нѣтъ: значенія x/K варьируютъ здѣсь отъ 24.4 до 16.9 г. Въ общемъ метода и инструментарій Schmidt'a даютъ для x/K бѣльшія значенія, чѣмъ метода Mache и инструментарій Elster-Geitl'я. Но это обстоятельство, замѣченное нами уже при измѣреніи x/K для газовъ, выражено здѣсь рѣзче. Разсматривая сообщенія въ таблицѣ XVIII условія тѣхъ наблюдений, которыя дали x/K значенія, бѣльшія чѣмъ 17.4×10^{-3} , и когда продолжительность взбалтыванія не болѣе 2 минутъ, мы находимъ, въ первыхъ, что эти наблюденія были начаты очень скоро послѣ введенія эманаціи въ пространство разсѣителя, между тѣмъ какъ изъ разсмотрѣнія таблицы XIV мы заключили, что предполагаемая паразитная іонизация, повышающая находимыя для x/K значенія, исчезаетъ не ранѣе, какъ черезъ 5—6 минутъ послѣ введенія эманаціи въ пространствѣ разсѣителя. Далѣе, разсматривая таблицу XVIII, мы видимъ, что во всѣхъ случаяхъ, когда для x/K получено болѣе, чѣмъ 17.4, и когда взбалтываніе продолжалось не болѣе 2 минутъ, въ графѣ „примѣчанія“ отмѣчено пониженіе величинъ J_0 . Это пониженіе сначала идетъ быстро, а потомъ медленно. Такимъ образомъ высказанная въ § 2 гипотеза о паразитной іонизации имѣетъ мѣсто и въ настоящемъ случаѣ. Но здѣсь мы дополнимъ ее еще двумя слѣдующими положеніями.

Таблица XVIII.

Дата.	Т.	Продолжи- тельность и характер взбалгивания.	Время от на- чала акции- рования до на- чала наблю- дения вели- чины Jт.	Сколько вре- мени от на- чала активи- рования до кон- ца наблю- дения вели- чины Jт.	Число найден- ных вели- чин Jт.	Среднее x $\times 10^3$ значеніе	$J_0 \frac{M_v}{sec}$	$K \times 10$ зек.	Примѣчанія.	
23.VI.58	40 ^s	Слабое не быть 30sec	860	31 ^s .	7 ^m 19 ^s .	7 ^m 50 ^s .	21	60.8	16.9	Нѣтъ замѣтного уменьше- ния величины J ₀ .
5.VII.08	1 ^m 45 ^s	Сильн. въ тек- чение 1/2 м. съ перерывом.	860	46 ^s .	4 ^m 07 ^s .	4 ^m 53 ^s .	24	89.1	24.4	Понижение величины J ₀ отъ 90 въ началѣ до 85 въ концѣ.
7.VII.08	1 ^m 50 ^s	То же.	777	56 ^s .	3 ^m 31 ^s .	4 ^m 27 ^s .	18	65.0	20.4	Ясно выраженное пониже- ние величинъ J ₀ отъ 66.7 въ началѣ до 63 въ концѣ.
8.VII.08	2 ^m 45 ^s	Тоже въ тек- чение 2 мин.	762	1 ^m 37 ^s .	4 ^m 16 ^s .	5 ^m 3.5 ^s .	22	60.3	19.3	Замѣтно понижение вели- чинъ J ₀ отъ 65.5 въ нача- лѣ до 60.4 въ концѣ.
9.VI.08	1 ^m 25 ^s	То же въ тек- чение 1-ой ми- нуты.	767	54.5 ^s .	4 ^m 07.5 ^s	5 ^m 02 ^s .	25	70.4	22.4	Понижение величинъ J ₀ отъ 77.1 до 66.7.
10.VII.08	11 ^m 35 ^s	Сильное и продолжите- льное 10 м.	955	1 ^m 09 ^s .	5 ^m 44 ^s .	6 ^m 53 ^s .	34	59.8	19.8	Понижение величинъ J ₀ отъ 69.4 до 58.8.
11.VII.08	67 ^m 20 ^s	Тоже и еще послѣ продол- женія 20 м.	737	2 ^m 32 ^s .	2 ^m 47.5 ^s .	5 ^m 19.5 ^s .	13	60.7	20.3	Понижение величинъ J ₀ не замѣтно.
12.VII.08	1 ^m 37 ^s	Сильное въ текчие 1 м.	737	52.5 ^s .	4 ^m 13.5 ^s .	5 ^m 05.0 ^s .	22	57.4	18.2	Понижение величинъ J ₀ въ нач. до 57.4 въ концѣ.
				5 ^m 23.5 ^s .	4 ^m 29.5 ^s	9 ^m 52.5 ^s .	13	51.5	17.2	Понижение величинъ J ₀ не замѣтно.

1. Паразитная іонізація выражена при измѣрениі величинъ x/K въ случаѣ водь гораздо рѣзче, чѣмъ случаѣ газовъ. Въ то время какъ въ первомъ случаѣ наибольшее расхожденіе величинъ x/K найденныхъ по методамъ *Mache* и *Schmidt'a*, достигаетъ 32%, въ случаѣ газовъ максимальное наблюденное расхожденіе составляетъ лишь 6% величины x/K , найденной по методу *Mache*.

2., Чѣмъ энергичнѣе и продолжительнѣе взбалтываніе воздуха и испытуемой воды, тѣмъ упорнѣе сохраняется паразитная іонізація, при чемъ стадія ея быстрого уменьшенія въ этомъ случаѣ почти отсутствуетъ.

Обращая вниманіе на наблюденіе 23.VI, мы находимъ, что здѣсь паразитная іонізація отсутствуетъ не смотря на то, что къ наблюденіямъ величинъ J_t приступлено очень скоро послѣ введенія эманациіи въ пространство разсѣятеля (черезъ 31 sec отъ начала активированія). Это отсутствіе въ указанномъ наблюденіи „паразитной“ іонізаціи, можетъ быть, надо приписать тому, что здѣсь взбалтываніе воды и воздуха было кратковременно и слабо. Во всякомъ случаѣ изъ вышеизложенной гипотезы о „паразитной“ іонізаціи отнюдь не слѣдуетъ, чтобы это явленіе необходимо всегда имѣло мѣсто въ первые 5—6 минутъ послѣ введенія эманациіи въ пространство разсѣятеля.

ЗАКЛЮЧЕНИЕ.

Въ заключеніи я позволяю себѣ резюмировать результаты настоящей моей работы въ слѣдующихъ положеніяхъ.

1. Какъ въ водахъ, такъ и въ газахъ, термъ деревни Новая Бѣлокуриха вполнѣ установлено присутствіе эманаціи радія.

2. Никакихъ другихъ эманацій, напр., эманаціи торія, въ этихъ термахъ не найдено.

3. Методъ и инструментарій *Schmidt'a* (Phys. Zeitschr., 6, 1905, р. 561; 7, 1906, р. 209) могутъ дать какъ для газа, такъ и для воды вышеуказанныхъ термъ тѣ же значенія величины x/K , какъ и методъ *Mache* и инструментарій *Elster-Geitel'a*.

4. Въ зависимости отъ условій наблюденія методъ *Schmidt'a* можетъ дать для величины x/K значенія, превосходящія таковыя же значенія, найденные по *Mache*.

5. Но отсюда отнюдь нельзя вывести заключенія, что насыщенный токъ іонизаціи не можетъ быть мѣромъ количества эманаціи,—мѣромъ, независимой отъ орудія и метода измѣренія и отъ взятой для измѣренія порціи эманаціи.

6. Объясненіе возможнаго расхожденія результатовъ измѣренія величины x/K по методу *Schmidt'a* и по *Mache* можетъ дать гипотеза о „паразитной“ іонизаціи, имѣющей мѣсто въ пространствѣ разсѣятеля и исчезающей не ранѣе 5—6 минутъ послѣ введенія туда эманаціи. При измѣреніи величины x/K въ водахъ паразитная іонизація сохраняется тѣмъ упориѣе, чѣмъ энергично и продолжительнѣе было взбалтываніе изслѣдуемой воды и воздуха.

7. Вопросъ о **причинахъ** возникновенія и природѣ явленія „паразитной“ іонизаціи требуетъ специальнаго лабораторнаго изслѣдованія.

8. Вѣроятнѣйшее значеніе величинъ x/K для изслѣдованныхъ мною газовъ есть 77.1×10^{-3} электростат. единицъ, а для водъ 17.2×10^{-3} такихъ же единицъ. Отсюда для α , коефиціента абсорбціи радиевой эманаціи въ водахъ термъ деревни Новая Бѣлокуриха, мы получаемъ число 0.22.

Москва, январь, 1911.

